



دانشگاه صنعتی شریف
دانشکده مهندسی هوافضا

پایان نامه کارشناسی

عنوان

تحلیل مدارهای فضایی پیرامون جسم با هندسه‌ی
نامنظم (سیارک)

نگارش

علی سیاه‌کمری

استاد راهنما

نیما اسدی‌ان

خرداد ۹۴

قدردانی و تشکر

در ابتدای کلام جا دارد که از پدر و مادر خود قدردانی کنم که برای آسایش فرزندان‌شان، سختی‌های زندگی را بی‌هیچ چشم‌داشتی بسیار به جان خریده‌اند و افسوس که هیچ‌وقت نمیتوان گوشه‌ای از خودگذشتگی‌هایشان را هم جبران کرد.

از استاد خود، دکتر اسدیان بسیار متشکرم که در این مدت همواره با روی خوش، راهنما و مایه‌ی دلگرمی بنده در مسیر این پروژه بوده‌است و بی‌شک بدون ایشان این پروژه راه به‌جایی نمی‌برد.

تحلیل مدارهای فضایی پیرامون جسم با هندسه‌ی نامنظم (سیارک)

چکیده

روشی جدید برای بررسی تحلیلی اغتشاشات ناشی از جمله‌هایی از پتانسیل گرانشی^۱ که وابسته به طول جغرافیایی هستند (مانند C_{22})، برای جسمی با چرخش یکنواخت حول یکی از محورهای اصلی^۲ معرفی شده‌است؛ این روش به طور خلاصه پنداشتن شتاب‌های کوریولیس^۳ و مرکز‌گرا^۴ وارده به فضاپیما در دستگاه مختصات چسبیده به جسم مرکزی، به عنوان اغتشاش است. بنابراین مدار مورد بحث، همان مداری است که فردی که روی جسم مرکزی ایستاده، مشاهده می‌کند. خانواده‌های منجمد^۵ این نوع مدار بدست‌آمده و همچنین امکان وجود آنها پیرامون جسم مرکزی دلخواه بررسی شده‌است.

بر مبنای مدل چندوجهی جسمی دلخواه با چگالی یکنواخت، روشی برای محاسبه‌ی ضرایب هارمونیک گرانشی و نیز روشی برای شبیه‌سازی دقیق مدار فضاپیما حول جسم ارائه شده‌است.

واژه‌های کلیدی:

اغتشاشات متوسط^۶، پتانسیل C_{22} ، معادلات سکولار^۷، مدارهای یخ زده، طراحی مدار پیرامون سیارک، روش چندوجهی‌ها^۸، محاسبه ضرایب هارمونیک گرانشی.

¹ Gravitational Potential

² Perincipal Axes

³ Coriolis

⁴ Centripetal

⁵ Frozen

⁶ Averaged Perturbation

⁷ Secular

⁸ Polyhedron method

صفحه

فهرست مطالب

۱.....	مقدمه.....	۱
۱.....	۱.۱ معرفی سیارک‌ها.....	۱
۲.....	۲.۱ انگیزه‌های تحقیقات در مورد سیارک‌ها.....	۲
۳.....	۳.۱ مأموریت‌های فضایی به سیارک‌ها.....	۳
۴.....	۴.۱ ملزومات طراحی مأموریت به سیارک‌ها.....	۴
۴.....	۵.۱ پیشینه تحقیقاتی.....	۴
۶.....	۶.۱ تعریف مسأله.....	۶
۸.....	۲ استخراج تابع پتانسیل گرانشی با روش مک کولاف.....	۸
۸.....	۱.۲ قانون جهانی گرانش نیوتن.....	۸
۹.....	۲.۲ تابع پتانسیل گرانشی.....	۹
۱۰.....	۳.۲ بسط تیلور تابع پتانسیل گرانشی.....	۱۰
۱۲.....	۱.۳.۲ جمله‌ی درجه صفر.....	۱۲
۱۲.....	۲.۳.۲ جمله‌ی درجه اول.....	۱۲
۱۲.....	۳.۳.۲ جمله‌ی درجه دوم.....	۱۲
۱۳.....	۴.۳.۲ برای جمله‌های با درجه‌ی فرد:.....	۱۳
۱۳.....	۵.۳.۲ جمله‌ی درجه چهارم.....	۱۳
۱۶.....	۳ محاسبه‌ی ضرایب بسط هارمونیک تابع پتانسیل گرانشی.....	۱۶
۱۷.....	۱.۳ روابط بازگشتی ضرایب بسط هارمونیک کروی.....	۱۷
۱۸.....	۲.۳ نحوه نمایش توابع چندجمله‌ای با درجه یکنواخت در رایانه.....	۱۸
۲۰.....	۳.۳ محاسبات ماتریسی چندجمله‌ای‌های درجه یکنواخت.....	۲۰
۲۰.....	۱.۳.۳ عمل جمع.....	۲۰
۲۰.....	۲.۳.۳ عمل ضرب.....	۲۰
۲۱.....	۴.۳ انتگرال گیری از توابع چندجمله‌ای ضرایب بسط هارمونیک کروی.....	۲۱
۲۱.....	۱.۴.۳ انتگرال گیری از چندجمله‌ای درجه یکنواخت روی هرم استاندارد.....	۲۱
۲۲.....	۲.۴.۳ تغییر مختصات چندجمله‌ای‌های درجه یکنواخت به مختصات دیگر.....	۲۲
۲۳.....	۵.۳ نکاتی برای افزایش سرعت الگوریتم.....	۲۳
۲۴.....	۶.۳ پیاده‌سازی الگوریتم.....	۲۴
۲۶.....	۴ استخراج تابع پتانسیل و میدان گرانشی با روش چندوجهی‌ها.....	۲۶
۲۶.....	۱.۴ روابط تحلیلی برای محاسبه‌ی میدان نیرویی به روش چندوجهی‌ها.....	۲۶
۲۷.....	۲.۴ شبیه سازی با استفاده از روش چندوجهی‌ها.....	۲۷

۵	معادلات سیاره‌ای گاوس.....	۲۹
۱.۵	معادلات سیاره‌ای گاوس.....	۲۹
۲.۵	استخراج شتاب‌های اغتشاشی.....	۳۱
۱.۲.۵	رویکرد بررسی مدار در دستگاه چسبیده به جسم مرکزی.....	۳۱
۲.۲.۵	مدل اغتشاشی.....	۳۳
۶	طراحی مدار با معادلات سکولار.....	۳۷
۱.۶	حل تقریبی مدار.....	۳۸
۲.۶	طراحی مدار منجمد چسبیده به جسم.....	۴۲
۷	جمع‌بندی و نتیجه‌گیری.....	۴۵
	منابع و مراجع.....	۴۶

صفحه

فهرست اشکال

- شکل ۱: کمربند سیارکی به همراه سایر انواع سیارک‌ها..... ۱
- شکل ۲: مأموریت فضاپیمای گالیله..... ۳
- شکل ۳: تصاویر گرفته شده از سیارک آیدا..... ۴
- شکل ۴: بردارهای مختلف مرتبط با میدان گرانشی جسم..... ۹
- شکل ۵: زاویه‌ی بین بردار مکان المان جرم جسم و نقطه‌های دلخواه در فضا..... ۱۱
- شکل ۶: شبیه‌سازی مدار حول جسمی با اغتشاش زیاد و سرعت زاویه‌ای‌های مختلف..... ۱۵
- شکل ۷: رابطه‌ی بسط هارمونیک کروی با بسط مککولاف..... ۱۷
- شکل ۸: روند استفاده از روابط بازگشتی محاسبه‌ی بسط هارمونیک (از سبز به قرمز)..... ۱۸
- شکل ۹: نحوه‌ذخیره چندجمله‌ای‌های درجه یکنواخت در رایانه..... ۱۹
- شکل ۱۰: نحوه‌ی ضرب دو چندجمله‌ای درجه یکنواخت..... ۲۰
- شکل ۱۱: تبدیل هرم دلخواه به هرم استاندارد..... ۲۱
- شکل ۱۲: تبدیل نمایش چندجمله‌ای زیر انتگرال C_{40} به مختصات دیگر..... ۲۲
- شکل ۱۳: محاسبه یک درایه از تانسور قدیمی در دستگاه جدید..... ۲۲
- شکل ۱۴: هرم پاسکال..... ۲۴
- شکل ۱۵: مدل چندوجهی مثلثی سیارک ایتوکاوا..... ۲۴
- ضرایب بسط هارمونیک محاسبه شد برای سیارک ایتوکاوا..... ۲۵
- ضرایب بسط هارمونیک محاسبه شد برای سیارک اِرس..... ۲۵
- شکل ۱۶: بردارهای تعریف شده در مورد چندوجهی..... ۲۷
- شکل ۱۷: شبیه‌سازی مداری حول جسمی مکعب مستطیل شکل و با چگالی برابر با زمین ... ۲۸
- شکل ۱۸: خروج از مرکز مدار لخت..... ۴۰
- شکل ۱۹: زاویه‌ی شیب مدار لخت..... ۴۱
- شکل ۲۰: زاویه‌ی گره صعودی مدار لخت..... ۴۱

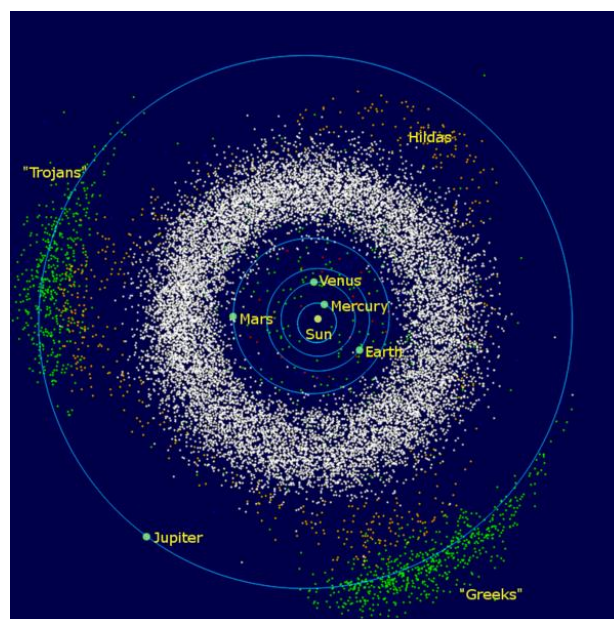
شکل ۲۱: بالا چپ: مسیر مدار در دستگاه چسبیده. بالا راست: نیم محور اصلی مدار. وسط
چپ: زاویه‌ی گره صعودی. وسط راست: خروج از مرکز مدار. پایین چپ زاویه‌ی شیب
مدار. پایین راست: زاویه‌ی حضيض مدار.....۴۴

۱ مقدمه

در این مقدمه ابتدا در مورد سیارک‌های فضایی و تاریخچه‌ی آنها، انگیزه‌های موجود برای اکتشافات در مورد سیارک‌ها و سپس در مورد مأموریت‌ها فضایی به این اجسام، ملزومات طراحی این مأموریت‌ها و نیز پیشینه‌ی تحقیقاتی مبحث سخن گفته میشود.

۱.۱ معرفی سیارک‌ها

سیارک‌ها اجسام کوچکی هستند که حول خورشید در حال گردش میباشند ولی به دلیل اندازه‌ی کوچک و نیز شکل بیقاعدگی آنها، جزء سیاره‌ها دسته‌بندی نمیشوند. میلیون‌ها سیارک در منظومه‌ی شمسی وجود دارد و مدار گروه اعظم آنها بین مدار مریخ و مشتری است (شکل ۱). دلیل وجود آنها حدث زده می شود وجود سیاره‌ای بین مشتری و مریخ بوده که به دلیل اثرات گرانشی قوی مشتری از هم پاشیده شده است؛ هرچند مجموع جرم این سیارک‌ها بسیار کم و حدود ۰,۱ درصد جرم زمین است. سایر اقسام سیارک‌ها شامل تروجان‌ها و سیارک‌های کم تعدادی که در میدان گرانشی سیاره‌ای به دام افتاده‌اند می‌شوند. تروجان‌ها سیارک‌هایی میباشند که در یکی از نقاط لاگرانژی مشتری-خورشید قرار دارند.



شکل ۱: کمربند سیارکی به همراه سایر انواع سیارک‌ها

اولین سیارکی که شناسایی شد در سال ۱۸۰۱ میلادی و سیارک سِرِس^۹ بود که تا به حال بزرگترین سیارک شناسایی شده می باشد. امروزه صدها هزار از آنها کشف شده است. اسامی آنها ابتدا با حروف یونانی نامگذاری شد ولی سپس مکتشفان آنها به دلخواه اسامی همسران، فرزندان و حیوانات خانه‌ای خود را بر روی آنها گذاشتند و اکثراً اسم آنها زنانه است مگر آنهایی که مدارهایی بسیار غیر عادی دارند!

اندازه‌ی سیارک‌ها بسیار متفاوت است به طوری که برای بزرگترین آنها (سِرِس) قطر آن حدود ۹۷۵ کیلومتر و با شکلی تقریباً کروی و بسیاری از آنها با قطری حدود چند ده متر و شکلی بسیار بی‌قاعده هستند. مواد سازنده‌ی سیارک‌ها هم همچنین بسیار متفاوت با یکدیگرند و اکثراً اطلاعات زیادی در مورد آنها وجود ندارد. سِرِس به نظر میرسد از هسته‌ای سنگی همراه با گوشته‌ای یخی تشکیل شده باشد و چگالی آن ۲٫۱۲ گرم بر سانتیمتر مکعب می باشد، در حالی که سیارک و ستا^{۱۰} به نظر میرسد از هسته‌ای نیکل-کرومی، گوشته‌ای از آلیواین^{۱۱} و پوسته‌ای بازالتی تشکیل شده باشد و چگالی آن ۳٫۴۴ گرم بر سانتیمتر مکعب است. اکثر سیارک‌های کوچکتر به نظر میرسد که از گردهم آمدن مقداری سنگ ریز و کلوخ که توسط نیروی گرانشی ضعیفی کنارهم نگاه داشته شده‌اند تشکیل شده باشند و حدود نصف حجم این سیارک‌ها فضای خالی می باشد که همین میتواند توجیهی برای چگالی بسیار کم آنها (به کمی ۲ گرم بر سانتیمتر مکعب) باشد.

۲.۱ انگیزه‌های تحقیقات در مورد سیارک‌ها

سیارک‌ها ممکن است بتوانند غذا، آب و نیز مواد مورد نیاز برای ساخت ایستگاه‌های فضایی را تأمین کنند. تاکنون مرکزهای تحقیقاتی برای بررسی این امکان ایجاد شده‌اند. اخیراً با اکتشاف آب بر روی سطح تیمیس^{۲۴}، ایده‌هایی برای استخراج آب از سطح سیارک برای فراهم آوردن آب مورد نیاز فضانوردان و نیز تجزیه آب به هیدروژن و اکسیژن برای تأمین اکسیژن مورد نیاز برای تنفس فضانوردان و نیز سوخت مورد نیاز فضاپیماها مطرح شده است. با امکان آمدن این ایده‌ها اگر مسیرهای مأموریت‌های فضایی آینده به گونه‌ای طراحی شوند که از سیارک‌ها عبور کنند میتوانند با صرف انرژی کمی در ایستگاه سوخت ساخته شده در سیارک انرژی پیش‌رانش فضاپیما را تأمین کنند.

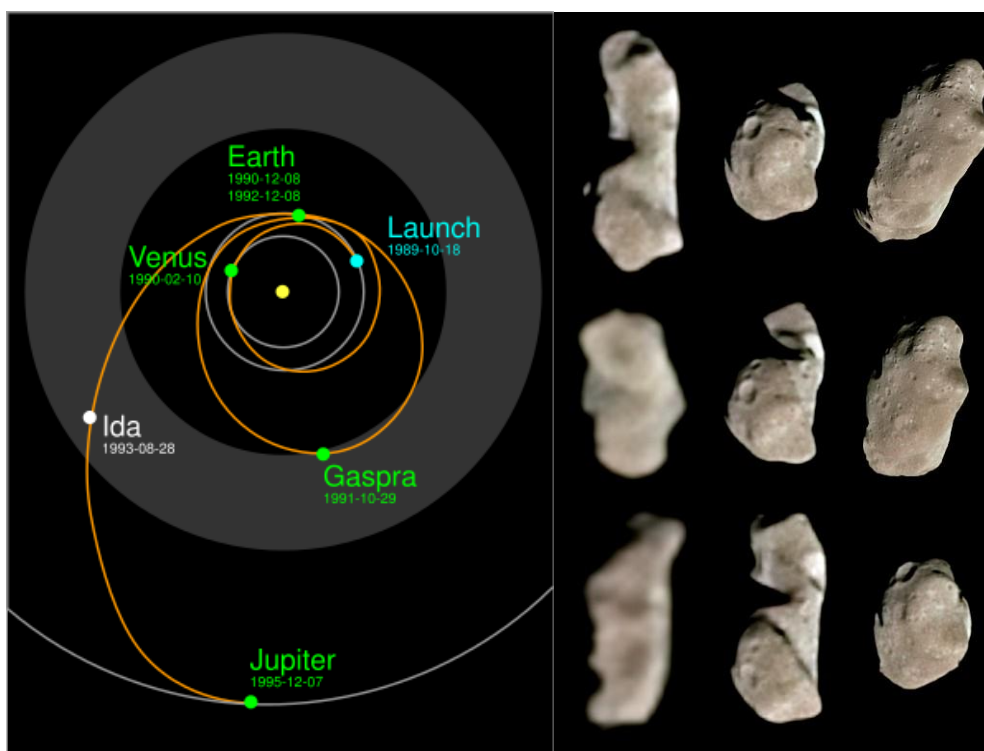
^۹ Ceres

^{۱۰} Vesta

^{۱۱} Olivine

۳.۱ مأموریت‌های فضایی به سیارک‌ها

قبل از ۱۹۹۱ تنها را اندازه‌گیری خواص سیارک‌ها مشاهده به کمک رادیو تلسکوپ‌ها بوده بوده است که راضی‌کننده نبود. بعدها مأموریت‌های فضایی به کمک محققان آمده و روش‌های دقیق‌تری را در اختیار آنان قرار دادند. در سال ۱۹۹۱ ایالات متحده‌ی آمریکا اولین مأموریت فضایی به سیارک‌ها را شروع کرد که توسط فضاپیمای گالیله^{۱۲} انجام گرفت (شکل ۲) که مأموریت اصلی آن به مشتری بود و باید از کمر بند سیارکی عبور میکرد و به همین دلیل در راه ملاقاتی با سیارک‌های گاسپرا^{۱۳} و آیدا^{۱۴} داشت و تصاویری از این سیارک‌ها ضبط کرد (شکل ۳). ناسا^{۱۵} بعدها مأموریت‌هایی به سیارک‌های نزدیک زمین هم داشت و روی سیارک اِرس فرود آمده و اطلاعاتی را در مورد طبیعت و منشأ آنها جمع‌آوری کرد.[26]



شکل ۲: مأموریت فضاپیمای گالیله.

¹² Galileo

¹³ Gaspra

¹⁴ 243 Ida

¹⁵ NASA

شکل ۳: تصاویر گرفته شده از سیارک آیدا.

۴.۱ ملزومات طراحی مأموریت به سیارک‌ها

مأموریت‌های طراحی شده به سیارک‌ها به دلیل شرایط ویژه‌ی حاکم بر سیارک‌ها، مأموریت‌های ویژه‌ای هستند. شکل بی‌قاعده و نیز جرم بسیار کم سیارک‌ها موجب به پیدایش رفتارهای غیرعادی مدارهای فضایی پیرامون این اجسام می‌شود و در صورت در نظر نگرفتن این ویژگی‌های خاص مدار طراحی شده می‌تواند به سرانجام برخورد با سطح سیارک، فرار از دام گرانشی آن یا سایر رفتارهایی که مدنظر مأموریت نیستند دچار شود. بنابراین نیاز است که این رفتارهای ویژه که اکثراً مبتنی بر محیط بسیار مغشوش گرانشی پیرامون این سیارک‌ها است، به خوبی شناخته‌شوند. [3], [2], [26]

اغتشاشات گرانشی مهم در محیط سیارات ناشی از شکل بی‌قاعده‌ی خود سیارک‌ها، فشار تشعشعات خورشیدی و اثرات گرانشی اجسام نزدیک می‌باشد. هرچند هنگامی که در فاصله‌ی زیادی از سیارک هستیم اثرات ناشی از بی‌قاعدگی جسم، بسیار کمرنگ شده و دو اثر دیگر اهمیت پیدا می‌کنند و باید تنها آن دو اثر را در نظر بگیریم و برعکس هنگامی که مدار فضاییما نزدیک به سیارک است می‌توان تنها اثرات مربوط به بی‌قاعدگی جسم مرکزی را وارده معادلات کرد [0], [1], [26].

سیارک‌ها براساس سرعت دورانی تنوع بسیاری دارند. سرعت دورانی بعضی به سرعت ۱۰۰۰ دور در روز میرسد و بعضی دیگر فقط ۰,۱ دور در روز است. از لحاظ حرکت محور دوران اکثر سیارک‌ها حول یکی از محورهای اصلی خود در حال دوران یکنواخت هستند [21]، بنابراین در این متن نیز همین فرض در نظر گرفته شده‌است و محور Z در جهت محور دوران سیارک تعیین شده‌است.

۵.۱ پیشینه تحقیقاتی

اولین نوشتارهای در رابطه معادلات دینامیکی فضاییما حول سیارک‌ها شامل [2] و [3] میباشد که البته با عنوان دینامیک پیرامون اجسام بی‌ضی‌گون ۳ محوره می‌باشد؛ در این نوشتار معادلات استفاده شده، گونه‌های معادله‌ی انرژی بوده و با استفاده از انتگرال جاکوبی، به موضوعاتی از قبیل برخورد یا عدم برخورد فضاییما با جسم و به طور کلی به پایداری و ناپایداری مدار با رویکردی تحلیلی پرداخته شده‌است.

در نوشتار [6] دینامیک فضاپیما در محیط اغتشاشی سیارک با در نظر گرفتن همزمان اثرات جسم مرکزی و جزر و مد و تشعشعات خورشیدی به طور تحلیلی بررسی شده است و سپس به بررسی مدارهای منجمد با میانگین گیری از معادلات حرکت فضاپیما پرداخته شده است.

در [16] با استفاده از روش های عددی، به بررسی پایداری مدارهای فضایی در یک محیط گرانشی درجه و مرتبه ۲ با سرعت دورانی یکنواخت پرداخته شده است. قیدی عددی برای پایداری یا عدم پایداری مدارهای تقریباً دایروی در استوا سیارک به دست آمده است. نواحی پایدار و ناپایدار به طور صریح مشخص گشته و دیده شده که بسیار مرتبط به رزونانس بین حرکت متوسط فضاپیما^{۱۶} و سرعت دورانی جسم مرکزی می باشد.

در [13] به بررسی راه کاری برای بکارگیری اغتشاشات تشعشعات خورشیدی برای انجام عملیات کنترلی مانند تغییر مدار و فرود روی سیارک پرداخته شده است. این راه کار استفاده از بادبان های خورشیدی می باشد که میتوانند تعداد زیادی فتون ساطع شده از خورشید را بازتاب کرده و نیروی نسبتاً مناسبی برای اعمال کنترلی فراهم آورند.

در [14] اثرات همزمان تشعشعات خورشیدی و نیز اغتشاش J_2 ^{۱۷} به طور همزمان با دو روش میانگین گیری ۱ مرتبه ای و ۲ مرتبه ای با استفاده از معادلات سیاره ای لاگرانژ بررسی شده است. و نمونه ای جدیدی از مدارهای خورشید منجمد با متعادل کردن این دو اغتشاش به دست آمده که سه بعدی بوده و نیز قیودی برای پایداری چنین مدارهایی مستقل از مقدار هریک از دو اغتشاش به دست آمده است.

برای بدست آوردن معادلات میانگین حرکت پیرامون جسمی با پتانسیل گرانشی از مرتبه و درجه ۲ با توجه به وابستگی تابع پتانسیل به طول جغرافیایی جسم مرکزی، دو پارامتر سریع وابسته به زمان در تابع پتانسیل ظاهر میشود (زاویه چرخش سیارک و نیز آنومالی حقیقی^{۱۸} مدار) و نمی توان نظیر تابع پتانسیل گرانشی J_2 با آن رفتار کرده و معادلات سکولار را استخراج کرد. تا به حال دو راه حل غیر دقیق برای این موضوع ارائه شده است که به صورت زیر است:

الف: در [4]، [8]، و [9] فرض شده است به ترتیب که سرعت دورانی سیارک نسبت به حرکت میانگین فضاپیما بسیار کند و یا صفر است، از اینرو در هر تناوب مداری فضاپیما، میزان چرخش سیارک ناچیز

¹⁶ Mean motion

¹⁷ J_2 zonal harmonic

¹⁸ True Anomaly

میبا شد و در هنگام میانگین گیری نسبت به آنومالی حقیقی از تابع پتانسیل سیارک میتوان از تغییرات زاویه‌ی چرخش سیارک نسبت به زمان صرف نظر کرده و روابط تحلیلی میانگین نرخ المان‌های مداری را بدست آورد. شکل نهایی این معادلات بسیار شبیه به معادلاتی خواهند بود که در این نوشتار در فصل ۶ بدست خواهد آمد ولی آنچه که این دودسته معادلات بیان میکنند و نیز فروض اضافی برای رسیدن به این معادلات بسیار متفاوت است. نیز در این مقالات با میانگین گیری از انرژی جاکوبی به شکلی از آن بدست آمده که فقط تابع زاویه شیب و زاویه گره صعودی میباشند و بنابراین ثابت میشود که در صورت برقراری فروض مسأله، زاویه شیب و زاویه گره صعودی با یکدیگر به طور هماهنگ تغییر میکنند و میتوانند مداری پایدار با این شرایط به وجود آورند. سپس به طراحی مدارهای شبه منجمد قطبی و غیر قطبی پرداخته شده است و پایداری آنان نیز بررسی شده است.

ب: در [18] و [19] مسأله‌ی میانگین گیری از تابع پتانسیل گرانشی که تابع دومتغیر سریع وابسته به زمان میباشد به گونه‌ای عددی حل شده است راه حل بدین گونه است که هنگام انتگرال گیری از معادلات لحظه‌ای المان‌های مداری برای بدست آمدن معادلات سکولار، قسمتی از انتگرال را برای دسته مدارهای مختلف به صورت عددی محاسبه میکند و در نهایت آنرا به صورتی پارامتری تابع المان‌های مداری ارائه میکند.

۶.۱ تعریف مسأله

همانطور که در پایان بخش پیش به آن اشاره شد، برای رفع مشکل پیش آمده هنگام میانگین گیری از معادلات لحظه‌ای المان‌های مداری فضاپیما، در یک محیط گرانشی درجه و مرتبه ۲ با سرعت دورانی یکنواخت، دو راه حل ارائه شد ولی هردوی این روش‌ها دارای مشکلاتی میباشد. در روش اول که روشی تحلیلی بود، فرض چرخش آرام سیارک صورت گرفته است، در حالی که بسیاری از سیارک‌ها دارای سرعت دورانی بالا هستند و حتی در صورتی که مدار فضاپیما را بسیار نزدیک به سطح سیارک در نظر بگیریم بازهم فرض صورت گرفته معقول نمیباشد. در روش دوم، مشکل دیگری وجود دارد زیرا پارامترهایی که به صورت عددی بدست می‌آیند، خود تابع المان‌های مدار میباشد و این درحالی است که هنگام طراحی مدار خود این المان‌ها مجهول میباشد و بنابراین به سادگی نمیتوان از این معادلات بدست آمده استفاده کرد و بایستی روشی بازگشتی مدنظر قرار داده شود.

در اینجا برای رفع مشکل اخیر راه‌حلی جدید یافته شده است. راه حل به اینگونه خواهد بود که معادلات حرکت در دستگاه چسبیده به سیارک نوشته شده و برای رسیدن به شکل معادلاتی که بتوان از

آن در معادلات سیاره‌ای گاوس^{۱۹} استفاده کرد، جمله‌های شتاب‌های تولید شده در سمت چپ رابطه به دلیل چرخش دستگاه مختصات، به سمت راست رابطه انتقال داده شده و به عنوان شتاب اغتشاشی در نظر گرفته شده‌است. هرچند این روش هم دارای کاستی‌های خاص خود است، ولی برای حل تقریبی^{۲۰} و نیز طراحی مدارهایی که در دستگاه چسبیده به سیارک به مدار بیضوی بدون اغتشاش شبیه هستند، بسیار مناسب است.

مطالب بیان‌شده در فصول مختلف این نوشتار به صورت زیر است.

در فصل ۲ به استخراج تابع پتانسیل گرانشی برای جسمی تقریباً دلخواه (فرضیات به دقت توضیح داده خواهد شد) تا درجه‌ی ۴ بدست آمده‌است ولی با توجه به پیچیده بودن جمله‌های با درجه‌ی بیش از ۲ تابع پتانسیل گرانشی، برای تحلیل مدار حول سیارک‌ها در فصول بعد، تابع پتانسیل تنها تا درجه‌ی ۲ در نظر گرفته شده و سپس همانند اکثر مقالات به میانگین‌گیری و بدست آوردن معادلات سکولار روی آورده شده‌است [6]، [8]، [9]، [11] و [14] که البته بنابر [0] و [26] این میزان از دقت برای تحلیل‌های اولیه مدار پیرامون سیارک‌ها و نیز در دست داشتن مدلی تحلیلی برای استفاده در طراحی اولیه اینچنین مدارهایی کافیست و در مأموریت‌های واقعی برای افزایش دقت در ادامه‌ی روند طراحی از روش‌های عددی مبتنی بر روش چندوجهی‌ها [25] استفاده می‌شود. روش چندوجهی‌ها هم در فصل ۴ به اختصار توضیح داده شده و مداری با این روش شبیه‌سازی شده‌است.

در فصل ۳ روشی برای محاسبه‌ی ضرایب بسط هارمونیک تابع پتانسیل گرانشی برمبنای مدل چندوجهی جسم توضیح شده‌است. و نیز الگوریتمی برای محاسبه‌ی این ضرایب نوشته شده و ضرایب برای دو سیارک معروف و نیز یک مکعب مستطیل بدست آمده‌است.

در فصل ۵ ابتدا شتاب‌های اغتشاشی در نظر گرفته شده در مسئله تابع المان‌های مداری کلاسیک بدست آمده و سپس با استفاده از معادلات سیاره‌ای گاوس، معادلات لحظه‌ای المان‌های مداری استخراج شده‌است.

در فصل ۶ ابتدا معادلات لحظه‌ای بدست آمده در فصل قبل میانگین‌گیری شده و سپس با استفاده از این معادلات، به تحلیل و طراحی مدارهایی با ویژگی‌های خاص پرداخته شده‌است که برخی از این مدارها تا جایی که نویسنده مطالب مختلف را بررسی کرده، مشابه آن موجود نبوده‌است.

¹⁹ Gauss Planetary equations

²⁰ Propagation

۲ استخراج تابع پتانسیل گرانشی با روش مک کولاف

در این قسمت ابتدا قانون جهانی گرانش نیوتن توضیح داده شده است، سپس با استفاده از روش مک کولاف^{۲۱}، رابطه‌ی تابع پتانسیل گرانشی جسمی با هند سه‌ی دلخواه تا درجه‌ی ۴ بدست آمده است. فرضیات انجام شده‌ی مربوط جسم، در حین محاسبه‌ی درجات مختلف تابع پتانسیل آورده شده است.

۱.۲ قانون جهانی گرانش نیوتن

هر جسم نقطه‌ای، جسم نقطه‌ای دیگر را با نیرویی متناسب با حاصل ضرب جرم دو جسم و نیز معکوس مجذور فاصله‌ی دو جسم، به سمت خود جذب می‌کند. بدون کاسته شدن از کلیت مسأله می‌توان جسم دوم را جسمی با جرم واحد در نظر گرفت، که در این صورت رابطه‌ی قانون جهانی گرانش، نشان‌دهنده‌ی میدان گرانشی^{۲۲} جسم اول است. رابطه‌ی کمی شده‌ی این قانون به صورت زیر است:

$$\mathbf{F}[\mathbf{r}] = \frac{Gm}{|\mathbf{r}-\mathbf{r}_m|^3}(\mathbf{r} - \mathbf{r}_m) \quad (۱.۲)$$

که در آن \mathbf{F} نشان‌دهنده‌ی تابع برداری میدان گرانشی جسم به جرم m در مکان \mathbf{r} و \mathbf{r}_m نشان‌دهنده‌ی بردار مکان جسم است.

از آنجایی که رابطه‌ی (۱.۲) نسبت به جرم جسم خطی است و نیز هر جسمی به صورت مستقل میدان گرانشی خود را اعمال می‌کند، می‌توان ترکیب میدان گرانشی چند جسم را به صورت جمع میدان گرانشی آنها نوشت:

$$\mathbf{F}[\mathbf{r}] = G \sum_{m_i \in S} \frac{m_i}{|\mathbf{r}-\mathbf{r}_{m_i}|^3}(\mathbf{r} - \mathbf{r}_{m_i}) \quad (۲.۲)$$

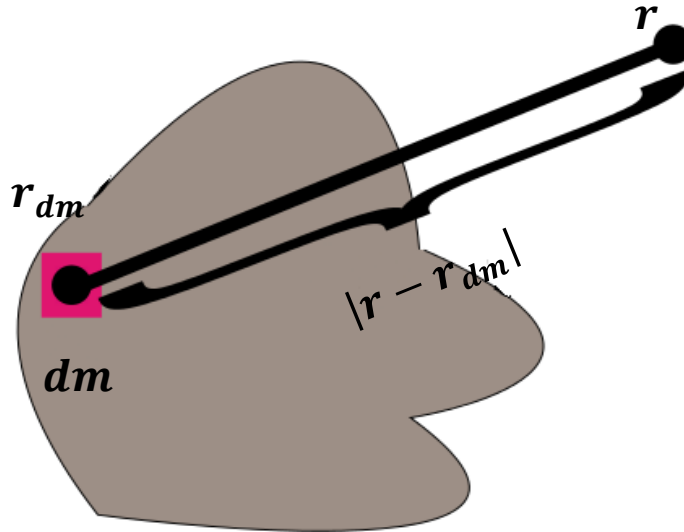
که S در آن مجموعه‌ی اجرام نقطه‌ای است. یک جسم واقعی را میتوان با تعداد نامتناهی از اجرام نقطه‌ای مدل کرد، که در این صورت میدان گرانشی این جسم به صورت زیر قابل نوشتن است:

²¹ MacCullagh

²² Gravitational Field

$$\mathbf{F}[\mathbf{r}] = G \int \frac{dm}{|\mathbf{r} - \mathbf{r}_{dm}|^3} (\mathbf{r} - \mathbf{r}_{dm}) \quad (3.2)$$

که در آن \mathbf{r}_{dm} بردار مکان یک نقطه‌ی مادی از جسم است (شکل ۴).



شکل ۴: بردارهای مختلف مرتبط با میدان گرانشی جسم

دستگاه مختصات لخت^{۲۳} دلخواهی را به صورت $(\hat{i}, \hat{j}, \hat{k})$ در نظر می‌گیریم و بردارهای مکان \mathbf{r} و \mathbf{r}_m را به صورت زیر نشان می‌دهیم:

$$\mathbf{r}_{dm} = \xi \hat{i} + \eta \hat{j} + \zeta \hat{k} \quad (4.2)$$

$$\mathbf{r} = x \hat{i} + y \hat{j} + z \hat{k} \quad (5.2)$$

۲.۲ تابع پتانسیل گرانشی

برای معرفی تابع پتانسیل گرانشی، از توصیف‌های فیزیکی و معناداری استفاده شده است [۰]. برای اختصار، تابع پتانسیل گرانشی به صورت زیر بیان می‌شود:

$$U[\mathbf{r}] = G \int \frac{dm}{|\mathbf{r} - \mathbf{r}_{dm}|} \quad (6.2)$$

²³ Inertial Frame of Reference

در این تعریف تابع پتانسیل گرانشی U ، تابعی اسکالر^{۲۴} از متغیر برداری \mathbf{r} است. با اعمال عملگر گرادینان^{۲۵} بر روی تابع پتانسیل گرانشی به تابع میدان گرانشی جسم می‌رسیم:

$$\nabla U[\mathbf{r}] = \frac{\partial}{\partial x} U[\mathbf{r}] \hat{i} + \frac{\partial}{\partial y} U[\mathbf{r}] \hat{j} + \frac{\partial}{\partial z} U[\mathbf{r}] \hat{k} =$$

و با توجه به اینکه حدود انتگرال ثابت است می‌توان عملگرهای مشتقات جزئی را به داخل انتگرال منتقل کرد و پس از مشتقگیری عبارت بالا، برابر خواهد بود با:

$$- \int G \frac{(x - \xi) \hat{i} + (y - \eta) \hat{j} + (z - \zeta) \hat{k}}{\sqrt{(x - \xi)^3 + (y - \eta)^3 + (z - \zeta)^3}} dm = \mathbf{F}[\mathbf{r}]$$

بنابراین:

$$\nabla U[\mathbf{r}] = \mathbf{F}[\mathbf{r}] \quad (۷.۲)$$

با توجه‌ی رابطه‌ی تحلیلی موجود بین تابع پتانسیل گرانشی و تابع میدان گرانشی، برای سهولت در ادامه‌ی این نوشتار از تابع پتانسیل گرانشی که تابعی اسکالر است استفاده می‌کنیم.

۳.۲ بسط تیلور تابع پتانسیل گرانشی

مخرج کسر درون انتگرال رابطه‌ی (۶.۲) را می‌توان به صورت زیر نوشت:

$$|\mathbf{r} - \mathbf{r}_{dm}|^2 = r^2 + r_{dm}^2 - 2rr_{dm} \cos \theta \quad (۸.۲)$$

$$\cos \theta = \frac{\mathbf{r} \cdot \mathbf{r}_{dm}}{rr_{dm}} \quad (۹.۲)$$

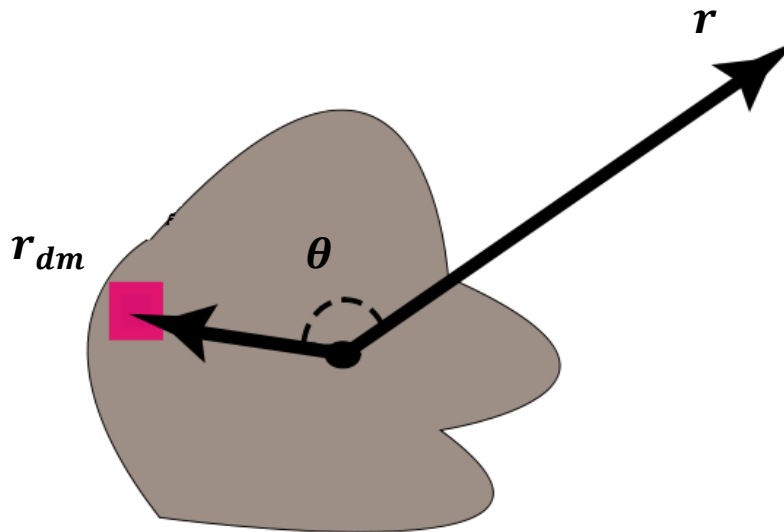
بنابراین رابطه‌ی (۶.۲) را می‌توان به شکل زیر بازنویسی کرد:

$$U[\mathbf{r}] = \frac{G}{r} \int \frac{dm}{\sqrt{1 + (\frac{r_{dm}}{r})^2 - 2\frac{r_{dm}}{r} \cos \theta}} \quad (۱۰.۲)$$

²⁴ Scalar

²⁵ Gradient

که در آن θ زاویه‌ی بین دو بردار \mathbf{r} و \mathbf{r}_{dm} است (شکل ۵).



شکل ۵: زاویه‌ی بین بردار مکان المان جرم جسم و نقطه‌ای دلخواه در فضا.

عبارت داخل انتگرال رابطه‌ی (۱۰.۲) را می‌توان به عنوان تابعی از $\frac{r_{dm}}{r}$ در نظر گرفت و با توجه اینکه این تابع تا زمانی که $\frac{r_{dm}}{r} < 1$ ، تابعی تحلیلی حول صفر است می‌توان اسن تابع را حول صفر بسط داد. در [0] بسط تیلور این تابع محاسبه شده و به صورت زیر است:

$$U[\mathbf{r}] = \sum_{i=0}^{\infty} U_i[\mathbf{r}] \quad (11.2)$$

$$U_i[\mathbf{r}] = \frac{G}{r} \int \left(\frac{r_{dm}}{r} \right)^i P_i[\cos \theta] dm \quad (12.2)$$

$$P_i[t] = \frac{1}{2^i i!} \frac{d(t^2-1)^i}{dt^i} \quad (13.2)$$

رابطه‌ی (۱۳.۲) به چند جمله‌ای لژاندر معروف است. چند درجه‌ی اول چندجمله‌ای لژاندر که برای بدست آمدن بسط تابع پتانسیل تا درجه‌ی ۴ مورد نیاز است به صورت زیر است:

$$P_0[t] = 1 \quad (14.2)$$

$$P_1[t] = t \quad (15.2)$$

$$P_2[t] = \frac{1}{2}(3t^2 - 1) \quad (16.2)$$

$$P_3[t] = \frac{1}{2}(5t^3 - 3t) \quad (17.2)$$

$$P_4[t] = \frac{1}{8}(35t^4 - 30t^2 + 3) \quad (18.2)$$

حال به محاسبه‌ی جمله‌های مختلف تابع پتانسیل گرانشی می‌پردازیم.

۱.۳.۲ جمله‌ی درجه صفر

$$U_0[\mathbf{r}] = \frac{G}{r} \int dm = \frac{\mu}{r} \quad (۱۹.۲)$$

که مشاهده می‌شود مشابه با تابع پتانسیل گرانشی برای یک جسم نقطه‌ای با جرمی معادل جرم جسم مورد بحث است.

۲.۳.۲ جمله‌ی درجه اول

$$U_1[\mathbf{r}] = \frac{G}{r} \int \left(\frac{r_{dm}}{r}\right) \frac{x\xi + y\eta + z\zeta}{rr_{dm}} dm = \frac{G}{r^3} \int (x\xi + y\eta + z\zeta) dm$$

مبدأ مختصات را مرکز جرم جسم تعریف کنیم، بنابراین نتیجه‌ی انتگرال بالا برابر با صفر خواهد شد.

$$U_1[\mathbf{r}] = 0 \quad (۲۰.۲)$$

۳.۳.۲ جمله‌ی درجه دوم

$$U_2[\mathbf{r}] \quad (۲۱.۲)$$

$$\begin{aligned} &= \frac{G}{r} \int \left(\frac{r_{dm}}{r}\right)^2 \frac{1}{2} \left(3 \left(\frac{x\xi + y\eta + z\zeta}{rr_{dm}} \right)^2 - 1 \right) dm = \\ &\frac{G}{2r^5} (3x^2 \int \xi^2 dm + 3y^2 \int \eta^2 dm + 3z^2 \int \zeta^2 dm + 6xy \int \xi\eta dm + \\ &6xz \int \xi\zeta dm + 6yz \int \eta\zeta dm + r^2 \int (\xi^2 + \eta^2 + \zeta^2) dm \end{aligned}$$

برای ساده سازی عبارت بالا ممان‌های اینرسی را به شکل زیر تعریف می‌کنیم:

$$I_{x^\alpha y^\beta z^\gamma} = \frac{1}{m} \int \xi^\alpha \eta^\beta \zeta^\gamma dm \quad (۲۲.۲)$$

راستاهای مختصات را راستاهای اصلی جسم تعریف می‌کنیم بنابراین داریم:

$$I_{xy} = I_{xz} = I_{yz} = 0 \quad (۲۳.۲)$$

همچنین دو متغیر زیر را تعریف می‌کنیم:

$$J_x = I_{x^2} - I_{z^2} \quad (24.2)$$

$$J_y = I_{y^2} - I_{z^2} \quad (25.2)$$

با قرار دادن چهار رابطه‌ی اخیر در رابطه‌ی

۴.۳.۲ جمله‌ی درجه دوم

(۲۱.۲) خواهیم داشت:

$$U_2[\mathbf{r}] = \frac{-1}{2} \frac{\mu}{r^3} (J_x + J_y) + \frac{3}{2} \frac{\mu}{r^5} (x^2 J_x + y^2 J_y) \quad (26.2)$$

۵.۳.۲ برای جمله‌های با درجه‌ی فرد:

بسط تابع پتانسیل با زیاد شدن درجه به شدت پیچیده خواهد شد و در اینجا برای جلوگیری از پیچیده شدن بیش از حد روابط و مناسب بودن روابط جهت استفاده در کار تحلیلی فرض می‌کنیم هندسه‌ی جسم و نیز چگالی آن حول محورهای اصلی جسم، متقارن است. بنابراین رابطه‌ی زیر به وضوح برقرار است:

$$I_{x^{2k+1}y^{\beta}z^{\gamma}} = \int \xi^{2k+1} \eta^{\beta} \zeta^{\gamma} dm = 0 \quad (27.2)$$

از آنجایی که جمله‌های چندجمله‌ای لژاندر با درجات فرد، همگی از درجات فرد هستند، توابع پتانسیل درجات فرد فقط شامل عباراتی با ضرایبی مانند (۲۷.۲) هستند و بنابراین همگی صفرند.

$$U_{2k+1}[\mathbf{r}] = 0 \quad (28.2)$$

۶.۳.۲ جمله‌ی درجه چهارم

با مقداری ساده سازی و نیز استفاده از (۲۸.۲)، برای تابع پتانسیل درجه چهار داریم:

$$U_4[\mathbf{r}] = \quad (29.2)$$

$$\begin{aligned} & \frac{\mu}{8r^9} (3r^4(I_{x^4} + I_{y^4} + I_{z^4} + 2I_{x^2}I_{y^2} + 2I_{x^2}I_{z^2} + 2I_{y^2}I_{z^2}) \\ & - 30r^2(x^2(I_{x^4} + I_{x^2}y^2 + I_{x^2}z^2) + y^2(I_{y^4} + I_{x^2}y^2 + I_{y^2}z^2) + \\ & z^2(I_{z^4} + I_{x^2}z^2 + I_{y^2}z^2)) + 210x^2y^2I_{x^2y^2} + 210x^2z^2I_{x^2z^2} + \end{aligned}$$

$$210y^2z^2I_{y^2z^2} + 35x^4I_{x^4} + 35y^4I_{y^4} + 35z^4I_{z^4})$$

در اینجا برای محاسبه‌ی ممان‌های مرتبه‌ی ۴ برحسب ممان‌های مرتبه ۲ مجبور خواهیم بود حالت کلی مسأله را کنار گذاشته و حالت خاص‌تری را در نظر بگیریم، فرض می‌کنیم که جسم یک بیضی‌گون با چگالی یکنواخت است. رابطه‌ی مرز جسم به شکل زیر خواهد بود:

$$\frac{\xi^2}{\alpha^2} + \frac{\eta^2}{\beta^2} + \frac{\zeta^2}{\gamma^2} = 1 \quad (30.2)$$

جرم جسم از رابطه‌ی زیر به دست می‌آید:

$$m = \int_{-\alpha}^{\alpha} \int_{-\beta\sqrt{1-\frac{\xi^2}{\alpha^2}}}^{\beta\sqrt{1-\frac{\xi^2}{\alpha^2}}} \int_{-\gamma\sqrt{1-\frac{\xi^2}{\alpha^2}-\frac{\eta^2}{\beta^2}}}^{\gamma\sqrt{1-\frac{\xi^2}{\alpha^2}-\frac{\eta^2}{\beta^2}}} \rho \, d\zeta \, d\eta \, d\xi = \frac{4}{3} \pi \rho \alpha \beta \gamma \quad (31.2)$$

برای ممان‌های اینرسی به طور مشابه از انتگرال‌گیری روی جسم نتیجه می‌شود:

$$I_{x^2} = \frac{4}{15m} \pi \rho \alpha^3 \beta \gamma = \frac{\alpha^2}{5} \quad (32.2)$$

$$I_{x^4} = \frac{4}{35m} \pi \rho \alpha^5 \beta \gamma = \frac{3}{35} \alpha^4 \quad (33.2)$$

$$I_{x^2y^2} = \frac{4\pi\rho\alpha^3\beta^3\gamma}{105m} = \frac{1}{35} \alpha^2 \beta^2 \quad (34.2)$$

با توجه به رابطه‌های بالا برای ممان‌های اینرسی خواهیم داشت:

$$I_{x^4} = \frac{15}{7} I_{x^2}^2 \quad (35.2)$$

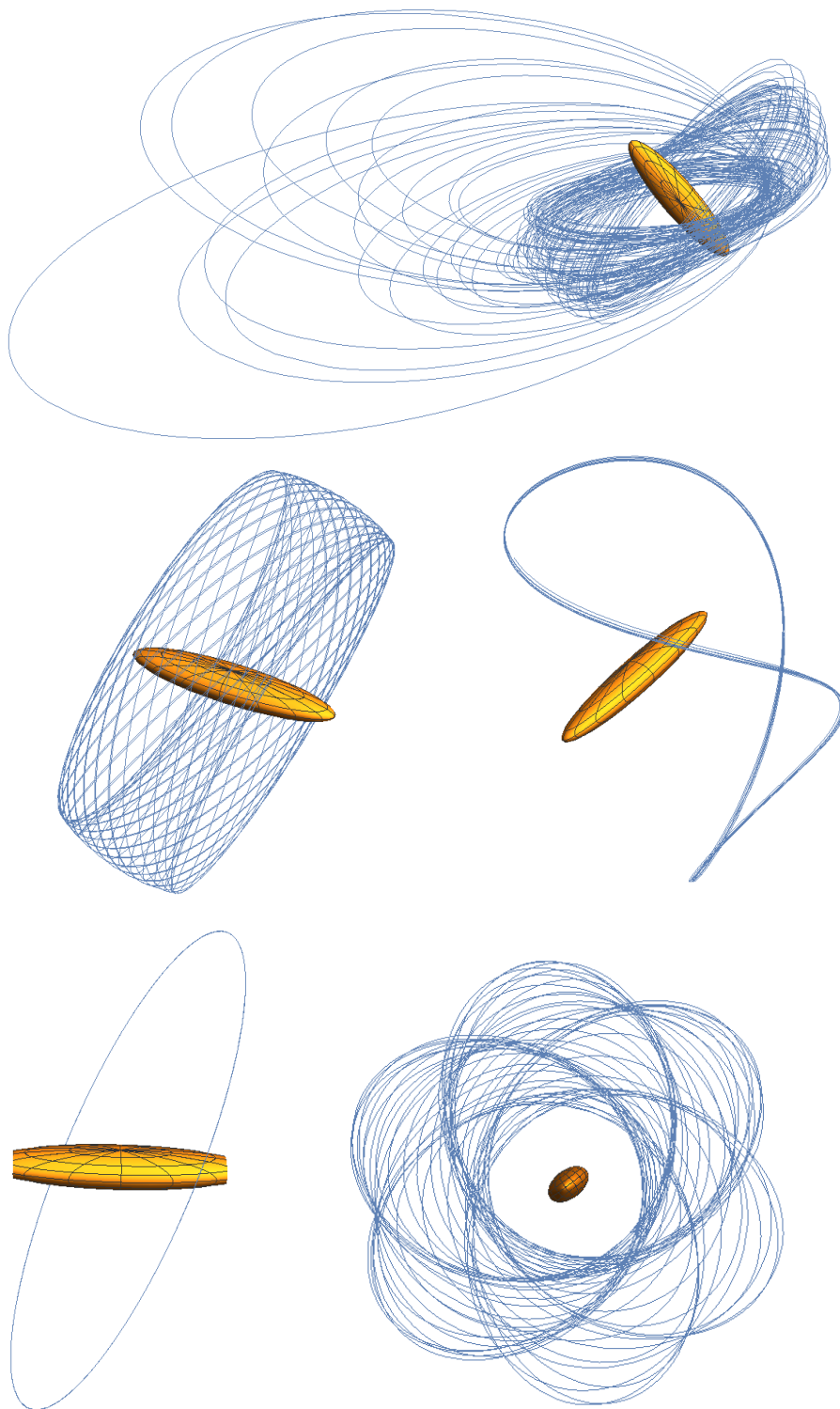
$$I_{x^2y^2} = \frac{5}{7} I_{x^2} I_{y^2} \quad (36.2)$$

روابط برای سایر ممان‌های درجه ۴ مشابه (۳۵.۲) و (۳۶.۲) است و از تقارن نتیجه می‌شود.

با جایگزاری (۳۵.۲) و (۳۶.۲) و همچنین (۲۴.۲) و (۲۵.۲) در (۲۹.۲) داریم:

$$\begin{aligned} U_4[\mathbf{r}] = & \frac{45}{56} \frac{\mu}{r^5} \left(J_x^2 + J_y^2 + \frac{2}{3} J_x J_y \right) + \\ & \frac{-450}{56} \frac{\mu}{r^7} \left(x^2 \left(J_x^2 + \frac{1}{3} J_x J_y \right) + y^2 \left(J_y^2 + \frac{1}{3} J_x J_y \right) \right) \\ & + \frac{525}{56} \frac{\mu}{r^9} (x^4 J_x^2 + y^4 J_y^2 + 2x^2 y^2 J_x J_y) \end{aligned} \quad (37.2)$$

با شبیه سازی این روابط برای جسم های مختلف و شرایط اولیه ی مختلف، تعدادی از این مدارهای زیبا در ادامه آورده می شود. فایل شبیه سازی در پیوست ۱ آمده است.



شکل ۶: شبیه سازی مدار حول جسمی با اغتشاش زیاد و سرعت زاویه ای های مختلف

۳ محاسبه‌ی ضرایب بسط هارمونیک تابع پتانسیل گرانشی

همانطور که در فصل پیش به آن اشاره شد معادلات تابع پتانسیل گرانشی وقتی که براساس روش مک کولاف نوشته میشوند به افزایش درجه به سرعت بسیار پیچیده میشوند به همین دلیل اکثر اوقات از روش دیگری برای نمایش تابع پتانسیل استفاده میشود که به روش هارمونیک کروی معروف است. اثبات معادلات هارمونیک کروی در اینجا نخواهد آمد و میتوانید آن‌ها را در [0] پیدا کنید. این معادلات به شکل زیر است:

$$U[\mathbf{r}] = \quad (۱.۳)$$

$$\frac{\mu}{r} \left[1 + \sum_{n=1}^{\infty} \sum_{m=1}^n \left(\frac{R_{\oplus}}{r} \right)^l P_{nm}[\sin \phi] (C_{nm} \cos m\lambda + S_{nm} \sin m\lambda) \right]$$

که در آن r فاصله‌ی فضاپیما از مرکز مختصات است، R_{\oplus} شعاع متعادل کننده‌ی معادلات میباشد که معمولاً برابر با ماکسیمم شعاع جسم مرکزی در نظر گرفته میشود، ϕ و λ به ترتیب عرض جغرافیایی و طول جغرافیایی محل فضاپیما میباشند. C_{nm} و S_{nm} ضرایبی ثابتی میباشند که بر حسب خواص جسم مرکزی به دست می‌آیند.

بین بیان تابع پتانسیل با روش مک کولاف و هارمونیک کروی رابطه‌ای به صورت شکل ۷ وجود دارد. این رابطه به این صورت است که مثلاً جمله‌ی درجه‌ی n بسط مک کولاف برابر با جمع همه‌ی جملات درجه n بسط هارمونیک کروی میباشند که خود n جمله است.

یکی از روش‌هایی که برای محاسبه‌ی C_{nm} و S_{nm} استفاده میشود، فرستادن ماهواره حول جسم و اندازه‌گیری شتاب‌های اغتشاشی بر حسب موقعیت و سپس برازش این شتاب‌ها بر معادله‌ی (۱.۳) است ولی این روش در مورد سیارک‌ها خیلی عملی نمی‌باشد زیرا در صورت عدم اطلاع از این ضرایب برای سیارک، مأموریت فضاپیما به سیارک، ممکن است با شکست مواجه شود. از این رو ابتدا با تصویر برداری‌های رادیویی مدلی حجمی از جسم ارائه میکنند و سپس بر حسب این مدل که عموماً به صورت برازش یک چندوجهی با وجه‌های مثلثی است، به محاسبه‌ی ضرایب می‌پردازند [26]. در این فصل هدف

ما هم محاسبه‌ی این ضرایب با داشتن مدل چندوجهی جسم است. بخشی از معادلات این قسمت از [22] و [23] گرفته شده است.

L		L\M	0	1	2	3	4	5	6
0		0							
1		1							
2		2							
3		3							
4		4							
5		5							
6		6							

شکل ۷: رابطه‌ی بسط هارمونیک کروی با بسط مک کولاف

۱.۳ روابط بازگشتی ضرایب بسط هارمونیک کروی

ضرایب بسط هارمونیک را میتوان با محاسبه‌ی انتگرال زیر محاسبه کرد:

$$\begin{bmatrix} C_{n,m} \\ S_{n,m} \end{bmatrix} = \frac{1}{M} (2 - \delta_{0,m}) \frac{(n-m)!}{(n+m)!} \left(\frac{rm}{R_{\oplus}} \right) P_{nm}[\sin \phi] \begin{bmatrix} \cos m \lambda \\ \sin m \lambda \end{bmatrix} dm \quad (2.3)$$

$$\begin{bmatrix} C_{nm} \\ S_{nm} \end{bmatrix} = \int \begin{bmatrix} C_{n,m} \\ S_{n,m} \end{bmatrix} dm \quad (3.3)$$

واضح است که محاسبه‌ی چنین انتگرالی آن هم در دستگاه مختصات کروی بسیار دشوار است. به همین دلیل از شکل دیگر از معادله‌ی (۲.۳) استفاده می‌شود که اول در دستگاه مختصات کارتزین بیان شده است و ثانياً برحسب درجه و مرتبه‌ی ضرایب، بازگشتی میباشد. این روابط به شکل زیر میباشد:

$$n = 0: \begin{bmatrix} C_{0,0} \\ S_{0,0} \end{bmatrix} = \frac{1}{M} \begin{bmatrix} 1 \\ 0 \end{bmatrix} \quad (4.3)$$

$$n = 1: \begin{bmatrix} C_{1,1} \\ S_{1,1} \end{bmatrix} = \frac{1}{MR_{\oplus}} \begin{bmatrix} x \\ y \end{bmatrix} \quad (5.3)$$

$$\begin{bmatrix} C_{n,n} \\ S_{n,n} \end{bmatrix} = \frac{1}{2nR_{\oplus}} \begin{bmatrix} x & -y \\ y & x \end{bmatrix} \begin{bmatrix} C_{n-1,n-1} \\ S_{n-1,n-1} \end{bmatrix} \quad \text{قطری:} \quad (6.3)$$

$$\begin{bmatrix} C_{n,n} \\ S_{n,n} \end{bmatrix} = \frac{z}{R_{\oplus}} \begin{bmatrix} C_{n-1,n-1} \\ S_{n-1,n-1} \end{bmatrix} \quad \text{زیر قطری:} \quad (7.3)$$

$$[C_{n,m}] = \alpha [C_{n-1,m}] + \beta [C_{n-2,m}] \quad \text{عمودی:} \quad (۸.۳)$$

$$\alpha = \frac{z}{R_{\oplus}} \frac{2n-1}{n+m} \quad (۹.۳)$$

$$\beta = \frac{x^2+y^2}{R_{\oplus}^2} \frac{m-n+1}{n+m} \quad (۱۰.۳)$$

استفاده از این روابط برای بدست آوردن توابع زیر انتگرال $[C_{n,m}]$ (بعد از بدست آمدن این توابع که در مختصات کارتزین میباشند بایستی در حجم جسم از آنها انتگرال گیری شود تا ضرایب بسط هارمونیک بدست آید). به این ترتیب است که ابتدا باید با معادله‌ی (۶.۳) تا درجه‌ی مورد نیاز، توابع قطری حساب شوند (قطری: درجه و مرتبه برابر) و سپس با معادله‌ی (۷.۳) توابع زیرقطری حساب شوند (زیرقطری: درجه - مرتبه = ۱) و سپس با معادله‌ی (۸.۳) توابع عمودی (به ازای یک مرتبه‌ی ثابت همه‌ی درجاتی که تا حال حساب نشده‌اند) حساب شوند. شکل شماتیک مرحله به مرحله‌ی این محاسبات در شکل ۸ آمده است.

L\M	0	1	2	3	4
0	0				
1	2	0			
2	3	2	1		
3	3	4	2	1	
4	3	4	5	2	1

شکل ۸: روند استفاده از روابط بازگشتی محاسبه‌ی بسط هارمونیک (از سبز به قرمز)

۲.۳ نحوه نمایش توابع چندجمله‌ای با درجه یکنواخت در رایانه

در قسمت قبل به روند محاسبه‌ی توابع زیر انتگرال برای محاسبه‌ی ضرایب بسط هارمونیک کروی پرداختیم حال مسئله این است که برای استفاده از این روابط بازگشتی نیاز به محاسبه‌ی ضرب توابع داریم. باید تأیید کنیم که اولاً چگونه این توابع را در رایانه نمایش دهیم و ثانیاً چگونه عمل ضرب را برای دو چندجمله‌ای انجام دهیم.

مشاهده می‌شود که $[C_{n,m}]$ چندجمله‌ای‌هایی با درجه‌ی یکنواخت n است (یعنی در چندجمله‌ای، فقط جملات با درجه‌ی n وجود دارد. چون در جمله‌ای متغیرهای x ، y و z وجود دارد، منظور از

درجه‌ی هر جمله، مجموع توان‌های این ۳ متغیر در آن جمله است) زیرا در صورتی که از روابط بازگشتی بخش پیش برای محاسبه‌ی آن استفاده شود، توابع درجه صفر و ۱ این خاصیت را دارند، و در هر مرحله از روابط بازگشتی درجه‌ی هریک از درجات چندجمله‌ای دقیقا ۱ واحد افزوده میشود.

برای نشان دادن هر کدام از $c_{n,m}$ یا $s_{n,m}$ ها میتوان از یک تانسور ۳ بعدی استفاده کرد و در آن درایه‌ی a_{ijk} را برابر با ضریب جمله‌ی $x^i y^j z^k$ در آن چند جمله‌ای قرار داد؛ ولی از آنجایی که همواره $i + j + k = n$ همواره تنها یک صفحه از این تانسور استفاده میشود و بقیه درایه‌های تانسور مطمئنا صفر خواهند بود. بنابراین میتوان از بجای تانسور ۳ بعدی از یک تانسور ۲ بعدی استفاده کرد و در آن درایه‌ی a_{ij} را برابر با ضریب جمله‌ی $x^i y^j z^{n-i-j}$ قرار داد. به طور مثال برای چند چندجمله‌ای درجه یکنواخت که در شکل ۹ نشان داده شده‌اند، تانسور متناظرشان به صورتی که در مقابل آنها نمایش داده شده، میتوان آن‌ها را در رایانه در یک آرایه ذخیره کرد.

$n = 0:$

$$p[x, y, z] = 10$$

10

$n = 1:$

$$p[x, y, z] = 2z - x$$

2	0
-1	

$n = 2:$

$$c_{20} = p[x, y, z] = \frac{1}{2MR_{\oplus}} (x^2 + y^2)$$

0	0	0.5/MR
0	0	
0.5/MR		

شکل ۹: نحوه ذخیره چندجمله‌ای‌های درجه یکنواخت در رایانه

۳.۳ محاسبات ماتریسی چندجمله‌ای‌های درجه یکنواخت

حال با داشتن نحوه نمایشی برای نشان دادن و ذخیره سازی چندجمله‌ای‌های درجه یکنواخت می‌توانیم نحوه‌ی انجام عمل ضرب و جمع چندجمله‌ای‌ها را با این نمایش توضیح دهیم.

۱.۳.۳ عمل جمع

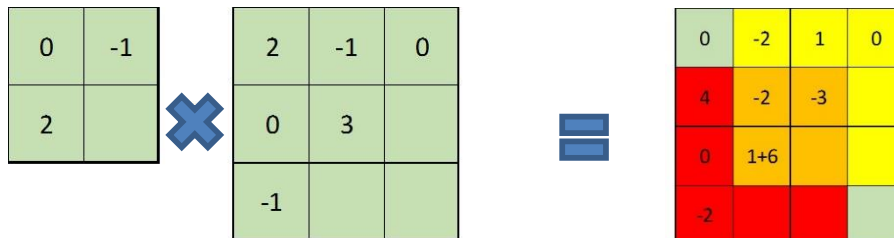
عمل را جمع را تنها می‌توان برای چندجمله‌ای‌هایی درجه یکنواخت با درجه‌ی مساوی با نحوه‌ی ذخیره سازی ما انجام داد، زیرا در صورتی که درجه یکسان نباشد حاصل جمع درجه یکنواخت نخواهد بود و بنابراین نمی‌توان آن را با یک تانسور مرتبه ۲ نمایش داد. واضح است که برای چندجمله‌ای درجه یکنواخت با درجه‌ی یکسان برای اعمال عمل جمع بین آن دو می‌توان تانسور متناظرشان را درایه به درایه جمع کرد.

۲.۳.۳ عمل ضرب

برخلاف عمل جمع عمل ضرب را می‌توان بین هر دو چندجمله‌ای با درجه یکنواخت انجام داد زیرا در این صورت حاصل برابر با چندجمله‌ای درجه یکنواخت با درجه‌ای برابر با جمع درجه آنان خواهد بود. الگوریتم این ضرب به این صورت است که ابتدا تانسوری ۲ بعدی با اندازه‌ی یکی کمتر از جمع درجه‌ی دو تانسور قبلی ایجاد کرده و سپس درایه‌های آن با رابطه‌ی زیر محاسبه می‌شوند:

$$a_{ij} = \sum_{c,d} b_{cd} c_{i-c,j-d} \quad (11.3)$$

که در آن b_{ij} و c_{ij} درایه‌های تانسور ۲ بعدی متناظر با آن دو چندجمله‌ای که در هم ضرب می‌شوند هستند. برای تصور این ضرب کمی پیچیده می‌توان شکل ۱۰ را مشاهده کرد که توضیح می‌دهد که برای ضرب این دو تانسور کفایت هر بار یک درایه از تانسور اول را در همه‌ی درایه‌های تانسور دوم ضرب کرده و حاصل را که تانسوری هم‌اندازه با تانسور دوم است را در جای مناسبی در تانسور حاصل ضرب قرار داد.



شکل ۱۰: نحوه‌ی ضرب دو چندجمله‌ای درجه یکنواخت

۴.۳ انتگرال گیری از توابع چندجمله‌ای ضرایب بسط هارمونیک کروی


حال طبق بخش ۱.۳ و ۲.۳ توابع زیر انتگرال ضرایب بسط هارمونیک را هرکدام در تانسوری ۲ بعدی ذخیره کرده‌ایم؛ حال باید از هرکدام از این توابع در کل حجم جسم نسبت به جرم جسم انتگرال گیری کنیم که البته با فرض چگالی یکنواخت می‌توانیم انتگرال گیری را روی حجم انجام بدهیم و چگالی به بیرون از انتگرال خواهد آمد. از آنجای که ما از مدل چند وجهی مثلی جسم استفاده می‌کنیم، کافی است که انتگرال روی هرکدام از هرم‌های تشکیل شده توسط یکی از وجه‌ها و مرکز جسم جداگانه حساب شود و حاصل همه باهم جمع شود. بنابراین در این بخش تنها به انتگرال گیری از یک چندجمله‌ای درجه یکنواخت روی هرمی دلخواه که راسی از آن مرکز مختصات است تمرکز می‌کنیم.

۱.۴.۳ انتگرال گیری از چندجمله‌ای درجه یکنواخت روی هرم استاندارد

در صورتی که هرم بحث شده در بخش پیش، به صورت هرم استاندارد باشد، یعنی راس‌های آن به ترتیب، $(0,0,0)$ ، $(1,0,0)$ ، $(0,1,0)$ و $(0,0,1)$ باشد، انتگرال گیری هر تک جمله درجه n روی آن بسیار ساده و با رابطه‌ی زیر خواهد بود:

$$\oint x^i y^j z^{n-i-j} dv = \int_0^1 \int_0^{1-z} \int_0^{1-y-z} x^i y^j z^k dx dy dz = \frac{i!j!(n-i-j)!}{(n+3)!} \quad (۱۲.۳)$$

بنابراین برای راحتی کار بایستی هریک از هرم‌هایی را که در بخش پیش به وجود می‌آید را با تبدیل مختصاتی به هرم استاندارد تبدیل کنیم. به سادگی می‌توان فهمید در صورتی که رئوس هرم ما رئوس v_1 تا v_4 باشند که در طرف راست شکل ۱۱ نشان داده شده‌اند می‌توان با معکوس تبدیل خطی T که رابطه‌ی آن در همان شکل ۱۱ نشان داده شده‌است، آن را به هرم استاندارد تبدیل کرد.

$v_0 = (0,0,0)$		$v_0 = (0,0,0)$
$v_1 = (x_1, y_1, z_1)$		$v_1 = (1,0,0)$
$v_2 = (x_2, y_2, z_2)$		$v_2 = (0,1,0)$
$v_3 = (x_3, y_3, z_3)$		$v_3 = (0,0,1)$

$$\begin{pmatrix} x \\ y \\ z \end{pmatrix} = T \begin{pmatrix} X \\ Y \\ Z \end{pmatrix} \quad T = \begin{pmatrix} x_1 & x_2 & x_3 \\ y_1 & y_2 & y_3 \\ z_1 & z_2 & z_3 \end{pmatrix}$$

شکل ۱۱: تبدیل هرم دلخواه به هرم استاندارد

حال مسأله این است که بعد از اعمال این تغییر مختصات برای هر کدام از هرم‌ها، چند جمله‌ای‌های بدست آمده در بخش قبل را نیز بایستی براساس متغیرهای تبدیل یافته‌ی جدید بیان کرد. در بخش بعد به این مبحث پرداخته میشود.

۲.۴.۳ تغییر مختصات چندجمله‌ای‌های درجه یکنواخت به مختصات دیگر

این فرایند برای سادگی با یک مثال شرح داده می‌شود. فرض کنید چند جمله‌ای زیر انتگرال را برای c_{40} محاسبه کرده‌ایم و آن را در تانسوری مطابق با شکل ۱۲ ذخیره کرده‌ایم.

$$-3y^2z^2 = -3(y_1X + y_2Y + y_3Z)^2(z_1X + z_2Y + z_3Z)^2$$

شکل ۱۲: تبدیل نمایش چندجمله‌ای زیر انتگرال c_{40} به مختصات دیگر

حال بیایید به یکی از درایه‌های این تانسور نگاه کنیم به طور مثال درایه‌ی سطر اول و ستون سوم. این درایه نشان دهنده‌ی $-3y^2z^2$ می‌باشند که y و z متغیرهای هستند که در دستگاه مختصات اولیه باید مقداردهی شوند ولی آنها را بر اساس دستگاه مختصات جدید میتوان به صورت زیر بیان کرد:

$$-3y^2z^2 = -3(y_1X + y_2Y + y_3Z)^2(z_1X + z_2Y + z_3Z)^2$$

که در آن y_i ها و z_i ها مختصات رئوس چندوجهی می‌باشند و X ، Y و Z متغیرهای جدید می‌باشند. برای محاسبه‌ی این عبارت بار هم میتوان از ضرب تانسوری چندجمله‌ای‌های یکنواخت بهره جست و این عبارت را به صورت شکل ۱۳ محاسبه کرد.

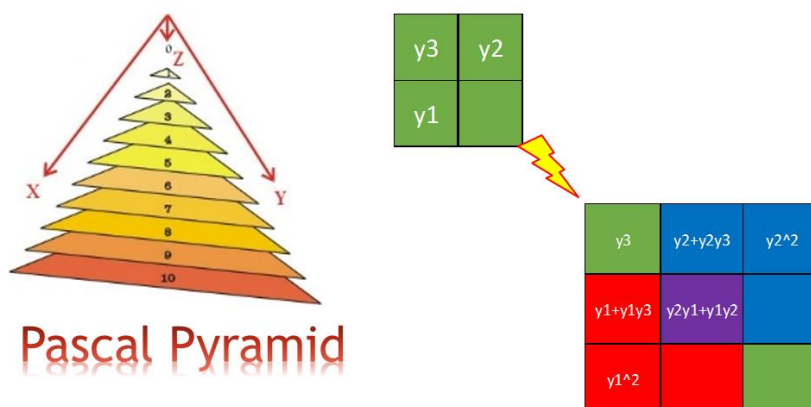
$$-3 \begin{pmatrix} y_3 & y_2 \\ y_1 & \end{pmatrix}^2 \begin{pmatrix} z_3 & z_2 \\ z_1 & \end{pmatrix}^2$$

شکل ۱۳: محاسبه یک درایه از تانسور قدیمی در دستگاه جدید

حاصل محاسبه‌ی شکل ۱۳ یک تانسور با اندازه‌ی ۴ خواهد شد که هم‌اندازه با تانسور اولیه است. برای تک‌تک درایه‌های تانسور قدیمی بایستی این فرایند را تکرار کرد و در نهایت همه‌ی تانسورهای بدست آمده را با هم جمع کرد؛ در این صورت تانسور مربوط به چند جمله‌ای زیرانتگرال C_{40} را برای یک هرم خاص، محاسبه کرده‌ایم و حال با رابطه‌ی (۱۲.۳) می‌توانیم انتگرال آن را برای تک‌تک درایه‌های حساب کرده و حاصل را با هم جمع کنیم و نیز به خاطر تغییر مختصات حاصل نهایی را در دترمینان تبدیل T ضرب کنیم، در این صورت سهم یک هرم خاص را از C_{40} حساب کرده‌ایم!

۵.۳ نکاتی برای افزایش سرعت الگوریتم

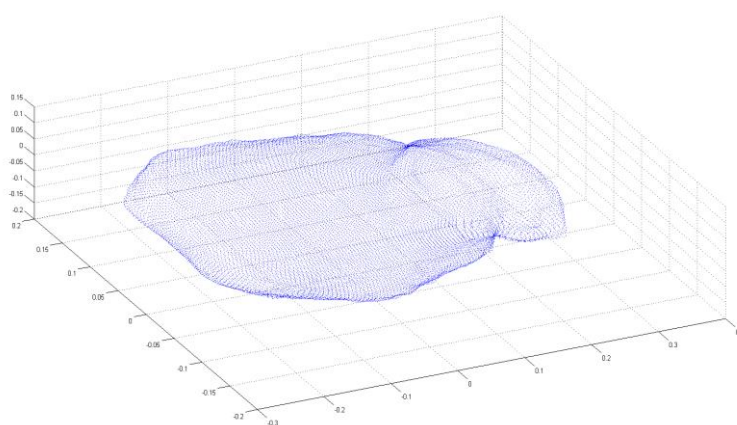
- از آنجایی که توابع زیرانتگرال ضرایب چندجمله‌ای به صورت بازگشتی محاسبه می‌شوند، در صورتی که ضرایب بسط هارمونیک را تا درجه‌ی n بخواهیم بهتر است که آن‌ها را همگی یکباره تولید کرده و در تانسورهای مربوطه ذخیره کنیم.
- بهتر است هنگامی که روی یک هرم خاص انتگرال گرفته می‌شود، یکباره سهم آن هرم را از تمام ضرایب بسط هارمونیک حساب کنیم و سپس سراغ هرم دیگری برویم زیرا تبدیل‌های مختصات هر هرم بطور جداگانه مشخص می‌شود و وقتی که تبدیل‌ها را حساب کردیم بهتر است که برای همه‌ی ضرایب از آن استفاده کنیم.
- در هنگام تبدیل چندجمله‌ای‌ها در یک هرم به مختصات جدید جملات، $(x_1X + x_2Y + x_3Z)$ ، $(y_1X + y_2Y + y_3Z)$ و $(z_1X + z_2Y + z_3Z)$ هر یک با توان‌های ۱ تا n ظاهر خواهند شد و برای محاسبه‌ی درایه‌های مختلف بکار گرفته خواهند شد، از آنجایی توان‌های ۱ تا n هریک از آن‌ها را میتوان هربار با ضرب در خودش به دست آورد، الگوریتمی بازگشتی برای این محاسبه وجود دارد (که به هرم پاسکال هم معروف است. شکل ۱۴)، بنابراین بهتر است است در ابتدای محاسبات هر هرم این چند جمله‌ای‌ها را حساب کنیم که کار تکراری نکرده باشیم.



شکل ۱۴: هرم پاسکال

۶.۳ پیاده‌سازی الگوریتم

مدل چندوجهی برخی از سیارک‌های مهم را میتوان در [24] به صورت رایگان دانلود کرد. الگوریتم بدست آمده در قسمت‌های قبل در نرم‌افزار متلب پیاده‌سازی شده و در پیوست ۲ موجود است. توسط این الگوریتم و مدل چندوجهی بدست آمده از [24] برای سیارک‌های اِرس و ایتوکاوا^{۲۶} محاسبه شده و در جداول صفحه‌های بعد آمده است. نتایج برای دو مورد اول با [17] و [20] مطابقت داشته است. مدل چندوجهی سیارک ایتوکاوا هم در شکل ۱۵ آمده است.



شکل ۱۵: مدل چندوجهی مثلی سیارک ایتوکاوا

Itokawa $R_{\oplus} = 1$			
n	m	C_{nm}	S_{nm}
0	0	1	0
1	0	-0.000107	0
1	1	0.000358	0.000035
2	0	-0.008620	0
2	1	0.000025	0.000013
2	2	0.003746	-0.000368

ضرایب بسط هارمونیک محاسبه شد برای سیارک ایتوکاوا

Eros				$R_{\oplus} = 6$				
n	m	C_{nm}	S_{nm}		n	m	C_{nm}	S_{nm}
0	0	1	0		3	2	0.001783	- 0.000727
1	0	0.000042	0		3	3	- 0.010410	- 0.012266
1	1	-0.000011	0.000001		4	0	0.013040	0
2	0	-0.052810	0		4	1	- 0.000152	0.000142
2	1	0.000055	-0.000009		4	2	- 0.017583	0.004661
2	2	0.082957	-0.028343		4	3	- 0.000271	- 0.000135
3	0	-0.001432	0		4	4	0.017555	- 0.009195
3	1	0.003988	0.003421					

ضرایب بسط هارمونیک محاسبه شد برای سیارک اِرس

۴ استخراج تابع پتانسیل و میدان گرانشی با روش چندوجهی‌ها

در این قسمت همه‌ی مطالب از [25] گرفته شده‌است. و نیز این روش به خصوص برای چندوجهی با وجه‌های مثلثی در زیر خواهد آمد.

۱.۴ روابط تحلیلی برای محاسبه‌ی میدان نیرویی به روش چندوجهی‌ها

رابطه‌ی تابع پتانسیل گرانشی و نیز میدان گرانشی برای جسمی چندوجهی، با تابع پتانسیل یکنواخت، به صورت دقیق به شکل تحلیلی زیر بدست می‌آیند:

$$U[\mathbf{r}] = \frac{1}{2} G \rho \sum_{e \in \text{edges}} \mathbf{r}_e \cdot \mathbf{E}_e \cdot \mathbf{r}_e L_e - \frac{1}{2} G \rho \sum_{f \in \text{faces}} \mathbf{r}_f \cdot \mathbf{F}_f \cdot \mathbf{r}_f \omega_f \quad (۱.۴)$$

$$\mathbf{F}[\mathbf{r}] = -G \rho \sum_{e \in \text{edges}} \mathbf{r}_e \cdot \mathbf{E}_e L_e + G \rho \sum_{f \in \text{faces}} \mathbf{r}_f \cdot \mathbf{F}_f \omega_f \quad (۲.۴)$$

که G و ρ در آن ثابت جهانی گرانشی و چگالی جسم هستند. زیرنویس‌های e و f به ترتیب یال و وجه را نشان می‌دهند. به هر وجه یک بردار برون‌گرای عمود بر خود به نام $\hat{\mathbf{n}}_f$ نسبت می‌دهیم و نیز دایاد^{۲۷} مربوط به هر وجه به صورت $\mathbf{F}_f = \hat{\mathbf{n}}_f \hat{\mathbf{n}}_f$ تعریف می‌شود (شکل ۱۶ Error! Reference source not found). نیز به هر یال یک بردار برون‌گرای $\hat{\mathbf{n}}_e^f$ نسبت می‌دهیم که بردار $\hat{\mathbf{n}}_f$ و خود آن یال عمود باشد. برای یال متصل کننده‌ی رئوس ۱ و ۲ که مشترک بین صفحات A و B است، دایاد مربوط به یال به صورت $\mathbf{E}_{12} = \hat{\mathbf{n}}_A \hat{\mathbf{n}}_{12}^A + \hat{\mathbf{n}}_B \hat{\mathbf{n}}_{21}^B$ تعریف می‌شود (شکل ۱۶).

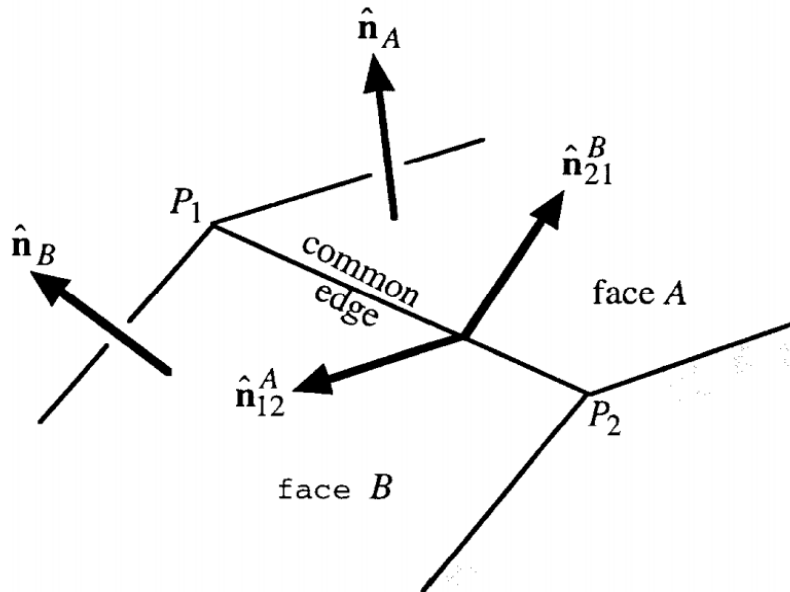
r_i را بردار وصل‌کننده‌ی نقطه‌ای دلخواه از میدان گرانشی به رأس P_i از چندوجهی در نظر بگیرید، طول بدون بعد مربوط به یال e به طول e_{ij} گزرنده از دو رأس P_i و P_j را به صورت زیر تعریف می‌کنیم:

$$L_e = \ln \frac{r_i + r_j + e_{ij}}{r_i + r_j - e_{ij}} \quad (۳.۴)$$

برای وجه f مثلثی که با سه رأس P_i ، P_j و P_k محدود شده‌است، عدد بدون بعد ω_f با تعریف زیر نسبت داده می‌شود:

²⁷ Dyad

$$\omega_f = 2 \tan^{-1} \frac{r_i \cdot r_j \times r_k}{r_i r_j r_k + r_i(r_j \cdot r_k) + r_j(r_i \cdot r_k) + r_k(r_j \cdot r_i)} \quad (4.4)$$

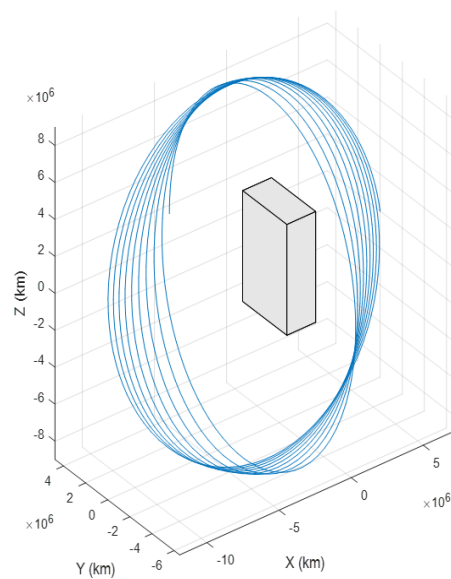


شکل ۱۶: بردارهای تعریف شده در مورد چندوجهی

۲.۴ شبیه سازی با استفاده از روش چندوجهی‌ها

هرچند که معادلات (۱.۴) و (۲.۴) تحلیلی هستند ولی این معادلات به قدری پیچیده‌اند که نمیتوان در کارهای تحلیلی از آنها استفاده کرد اما برای شبیه سازی مدار بهترین روش، استفاده از همین معادلات است که در کاربردهای عملی هم برای شبیه سازی مدار حول سیارک‌ها از همین روش استفاده می‌شود.

برای استفاده از معادلات (۱.۴) و (۲.۴) بایستی مدل چندوجهی شده‌ی جسم را در دست داشته باشیم که در [24] این مدل برای بسیاری از سیارک‌ها و اجسام معروف داده شده و به صورت رایگان قابل دانلود است. هرچند برای شبیه سازی این معادلات هم به رایانه‌های قوی و پردازش موازی نیازمندیم. در زیر شبیه سازی یک مدار حول یک جسم مکعب مستطیل با این روش انجام گرفته است. فایل شبیه سازی مربوطه در پیوست ۳ آمده‌است.



شکل ۱۷: شبیه سازی مداری حول جسمی مکعب مستطیل شکل و با چگالی برابر با زمین

۵ معادلات سیاره‌ای گاوس

در این فصل درآمدی بسیار کوتاه بر معادلات سیاره‌ای گاوس آمده‌است که استفاده‌ی آن را در قسمت‌های بعدی این نوشتار مجاز کند. تمام روابط و مطالب این فصل از فصل ۹ از [۰] و فصل ۱۲ از [۱] آورده شده‌است.

۱.۵ معادلات سیاره‌ای گاوس

حل مدار فضایی در میدان گرانش یک جسم دلخواه و با حضور عوامل نیرویی دیگری همچون نیروی پسا، تشعشعات خورشیدی، اثر سایر اجسام آسمانی و غیره از حل رابطه دیفرانسیل زیر بدست می‌آید:

$$\ddot{\mathbf{r}} = -\frac{\mu}{|\mathbf{r}|^3} \mathbf{r} + \mathbf{P} \quad (۱.۵)$$

که در آن \mathbf{P} نمایشگر همه‌ی نیروهای وارده بر جسم (همه‌ی اغتشاشات)، به جز نیروی ناشی از تابع پتانسیل گرانشی درجه صفرم جسم مرکزی است (تابع پتانسیل مسأله‌ی دو جسم^{۲۸}).

به وضوع رابطه‌ی (۱.۵) دستگاه معادلات دیفرانسیل، با سه رابطه‌ی درجه ۲ است و بنابراین طبیعیست که بتوان آن را به صورت ۶ رابطه دیفرانسیل درجه ۱ نوشت که در آنها نرخ‌های بردار سرعت و مکان، بر حسب بردار مکان و سرعت جسم، و نیز \mathbf{P} بیان می‌شوند. با استفاده از تکنیک VOP^{۲۹} می‌توان برای حل این دستگاه درجه ۱ از تغییرمتغیر بهره جست [27] و دستگاه را بر حسب توابعی از متغیرهای خروجی معادلات دیفرانسیل نوشت (توابعی از بردار سرعت و بردار مکان) که البته تعداد این توابع بایستی به اندازه‌ی تعداد معادلات موجود در دستگاه درجه ۱ بوده و نیز این توابع مستقل از یکدیگر باشند. طبیعیست که اولین توابعی که برای بازنویسی رابطه‌ی (۱.۵) به ذهن خطور می‌کنند، المان‌های مداری کلاسیک هستند^{۳۰} که در کل این نوشتار از همین المان‌ها استفاده می‌شود. استفاده از المان‌های

²⁸ 2-Body problem

²⁹ Variation of parameters

³⁰ Classical orbital elements

کلاسیک بسیار سودمند به نظر می رسد زیرا از آنجایی که در حل مسأله‌ی دو جسم، این المان‌ها ثابتند، بایستی نرخ این المان‌ها تابعی از P بوده و با نبود P ، نرخ این المان‌ها هم صفر شوند (البته به جز آنومالی حقیقی).

معادلات جدید با استفاده از تغییر متغیری مناسب به صورت زیر در می آیند:

$$\frac{da}{dt} = \frac{2}{n\sqrt{1-e^2}} \left(e \sin \theta a_r + \frac{a(1-e^2)}{r} a_s \right) \quad (۲.۵)$$

$$\frac{de}{dt} = \frac{\sqrt{1-e^2}}{na} \left(\sin \theta a_r + \left(\frac{e+\cos \theta}{1+e \cos \theta} + \cos \theta \right) a_s \right) \quad (۳.۵)$$

$$\frac{di}{dt} = \frac{r \cos(\omega+\theta)}{na^2\sqrt{1-e^2}} a_w \quad (۴.۵)$$

$$\frac{d\Omega}{dt} = \frac{r \sin(\omega+\theta)}{na^2\sqrt{1-e^2} \sin i} a_w \quad (۵.۵)$$

$$\frac{d\omega}{dt} = \frac{\sqrt{1-e^2}}{nea} \left(-\cos \theta a_r + \left(1 + \frac{r}{a(1-e^2)} \right) \sin \theta a_s \right) - \frac{r \sin(\omega+\theta) \cot i}{na^2\sqrt{1-e^2}} a_w \quad (۶.۵)$$

$$\frac{d\theta}{dt} = \frac{h}{r^2} + \frac{1}{eh} (a(1-e^2) \cos \theta a_r - (r + a(1-e^2)) \sin \theta a_s) \quad (۷.۵)$$

که در آن a ، e ، i ، Ω و ω المان‌های کلاسیک مداری و به ترتیب، نیم‌محور اصلی^{۳۱}، خروج از مرکز^{۳۲}، زاویه‌ی شیب^{۳۳}، زاویه‌ی گره صعودی^{۳۴}، زاویه‌ی حضیض^{۳۵} و آنومالی حقیقی هستند، n سرعت زاویه‌ای متوسط مدار و a_r ، a_w و a_s نشان‌دهندی شتاب‌های اغتشاشی در راستاهای به ترتیب، شعاعی، عمود بر صفحه‌ی مدار و جهت سوم کامل کننده‌ی این دوجبه‌ت برای تشکیل یک دستگاه راستگرد است. و h هم نشان‌دهنده‌ی اندازه‌ی تکانه‌ی زاویه‌ای^{۳۶} است.

³¹ Semimajor axis

³² Eccentricity

³³ Inclination

³⁴ Right ascension

³⁵ Argument of perapsis

³⁶ Angular Momentum

۲.۵ استخراج شتاب‌های اغتشاشی

در این قسمت هدف بدست آوردن شتاب‌های اغتشاشی مورد استفاده برای معادلات سیاره‌ای گاوس است. ابتدا رویکرد ما به مسأله و دلایل آن آورده شده و سپس به استخراج معادلات خواهیم پرداخت.

۱.۲.۵ رویکرد بررسی مدار در دستگاه چسبیده به جسم مرکزی

در اینجا برای بدست آوردن حرکت فرض شده است که جسم مرکزی حول یکی از محورهای اصلی، چرخش یکنواخت انجام می‌دهد، که ما آن را محور z ها در نظر می‌گیریم. و نیز تنها اغتشاشات ناشی از عدم کرویت جسم مرکزی در نظر گرفته می‌شود. بنابراین معادلات حرکت فضاپیما به شکل زیر نوشته می‌شود:

$$\begin{aligned} (A) \quad \ddot{x} + \frac{\mu x}{r^3} &= \frac{\partial R}{\partial x} + 2\omega_T \dot{y} + \omega_T^2 x \\ (B) \quad \ddot{y} + \frac{\mu y}{r^3} &= \frac{\partial R}{\partial y} - 2\omega_T \dot{x} + \omega_T^2 y \\ (C) \quad \ddot{z} + \frac{\mu z}{r^3} &= \frac{\partial R}{\partial z} \end{aligned} \quad (۸.۵)$$

که در آن ω_T سرعت زاویه‌ای جسم مرکزی و R تابع پتانسیل گرانشی اغتشاشات ناشی از عدم کرویت جسم مرکزی است. در اینجا $(x[t], y[t], z[t])$ که از حل معادلات (۸.۵) بدست می‌آید، مسیر پیموده شده توسط فضاپیما در دستگاه چسبیده به جسم مرکزی است؛ به طور معمول این مسیر به عنوان مدار معرفی نمی‌شود و به جای آن مسیر حرکت فضاپیما در دستگاه لخت که با رابطه‌ی (۹.۵) بدست می‌آید، مدار نامیده می‌شود، که ما آن را از این پس مدار لخت می‌نامیم.

$$\begin{pmatrix} x[t] \\ y[t] \\ z[t] \end{pmatrix}_{Orbit\ Definer} = \begin{pmatrix} \cos \omega_T t & -\sin \omega_T t & 0 \\ \sin \omega_T t & \cos \omega_T t & 0 \\ 0 & 0 & 1 \end{pmatrix} \begin{pmatrix} x[t] \\ y[t] \\ z[t] \end{pmatrix} \quad (۹.۵)$$

در این نوشتار هدف ما بررسی مدار در دستگاه چسبیده یعنی همان $(x[t], y[t], z[t])$ که از حل معادلات (۸.۵) بدست می‌آید است و این مسیر مدار تعبیر می‌شود. طرف چپ معادلات (۸.۵)، همچون رابطه‌ی حرکت مسأله‌ی دو جسم برای جسم مرکزی ثابت نوشته شده است و هرآنچه که در طرف راست این رابطه وجود دارد، اغتشاش تعبیر می‌شود. از اینرو مسأله مشابه این است که جسم مرکزی چرخشی

ندارد و فقط ۲ جمله‌ی اغتشاشی جدید به معادلات اضافه شده‌اند. دلایل این انتخاب به صورت زیر بیان می‌شوند:

۱. در صورتی که مدار لخت را در نظر بگیریم، تابع پتانسیل گرانشی اغتشاشی R نه تنها تابع بردار مکان سیارک بلکه تابع زاویه چرخش سیارک ϕ نیز است که برابر است با $\omega_T(t - t_0)$ که در آن t_0 زمانی است که محور x هر دو دستگاه برهم منطبق شده‌اند. از آنجایی که هدف ما میانگین گیری از معادلات المان‌های کلاسیک مداری لحظه‌ای و بدست آوردن معادلات سکولار این المان‌ها است، اگر R که در این معادلات ظاهر می‌شود تابع دو متغیر سریع θ (آنومالی حقیقی) و ϕ باشد، میانگین گیری تحلیلی از المان‌های کلاسیک مداری لحظه‌ای غیرممکن خواهد بود^{۳۷} مگر اینکه مسأله را از حالت کلی خارج کرده و فرض کنیم که دوره تناوب این دو متغیر اختلاف زیادی دارد به گونه‌ای که بعد از اینکه یکی از آنها یک تناوب خود را کامل می‌کند، متغیر دیگر تغییر ناچیزی کرده باشد که این روش توسط شیرز^{۳۸} و هو^{۳۹} در [4] به عنوان راه‌حلی برای سیارک‌هایی که سرعت چرخش آنها کند است و نیز در (*) برای سیارک‌هایی که سرعت چرخش آنها بسیار زیاد است^{۴۰}، معرفی شده است. این در حالی است که بسیار از سیارک‌ها دارای سرعت چرخشی متوسط و در نزدیکی سرعت زاویه‌ای مدارهای نزدیک به آنها دارند [21]. یک راه حل دیگر روش میانگین گیری نیمه عددی است که در [18] و [20] آمده است و هرچند برای کار تحلیلی خیلی مناسب نیست.

۲. در اینجا به بررسی و طراحی مدارهایی خواهیم پرداخت که در دستگاه چسبیده، منجمد هستند و در واقع جمله‌های اغتشاشی رابطه‌ی (۸.۵) که همگی جملات سمت راست این رابطه هستند، یکدیگر را خنثی کرده و نزدیک به صفر هستند که این خود فرض کوچک بودن اغتشاشات در هنگام میانگین گیری از معادلات المان‌های کلاسیک مداری لحظه‌ای را ارضا می‌کند.

۳. در بسیاری از مأموریت‌های فضایی به سیارک‌ها، هدف بررسی خود سیارک با تصویر برداری از آن یا اندازه گیری میدان گرانشی آن است، بنابراین مدار مورد نظر بایستی در دستگاه چسبیده به جسم مرکزی طراحی شود و نه در دستگاه لخت. بنابراین رویکرد ما به مسأله در این موارد کارا واقع خواهد شد.

^{۳۷} زیرا در میانگین گیری، در یک دوره تناوب مدار نسبت به زمان انتگرال گیری می‌شود ولی دوره تناوب ϕ و θ با یکدیگر متفاوت است و نتیجه‌ی این انتگرال وابسته به دوره تناوب مدار خواهد شد.

^{۳۸} Scheeres

^{۳۹} W. Hu

^{۴۰} در واقع برای سیارک‌هایی که سرعت چرخش آنها بسیار زیاد است، به نحوی اثرات وابسته به طول جغرافیایی از بین رفته و تنها اثرات اغتشاشات زونال باقی میماند.

۲.۲.۵ مدل اغتشاشی

با مشاهده‌ی رابطه‌ی (۸.۵) سه جمله‌ی اغتشاشی را در آن به تفکیک جدا می‌کنیم و از آنجایی که معادلات سیاره‌ای گاوس نسبت به شتاب‌های اغتشاشی خطی هستند، این معادلات را برای هر کدام از این اغتشاش‌ها به صورت جداگانه نوشته و در آخر اثرات همه‌ی آنها را با هم جمع خواهیم کرد.

باید در نظر داشت که معادلات سیاره‌ای گاوس برحسب شتاب‌های اغتشاشی در دستگاه rSW است و نیز این شتاب‌ها بایستی برحسب المان‌های مداری مورد استفاده، که در اینجا همان المان‌های کلاسیک هستند، نوشته شوند. بنابراین فرایند تبدیل شتاب‌های اغتشاشی طی دو مرحله انجام می‌شود:

- نوشتن شتاب اغتشاش برحسب المان‌های کلاسیک مداری
- تصویر کردن شتاب اغتشاشی بر راستاهای دستگاه rSW

تمام محاسبات تحلیلی این قسمت توسط نرم‌افزار Mathematica انجام شده‌است و فایل آن در پیوست ۱ آمده‌است.

A پتانسیل گرانشی اغتشاشی جسم مرکزی

در ابتدا جمله‌ی اول سمت راست رابطه‌ی (۸.۵) که با A نشان داده شده‌است، برای استفاده در معادلات سیاره‌ای گاوس فرمول بندی می‌شود. برای یکسان بودن نمادهای مورد استفاده با نمادهای که به طور عموم در این شاخه مورد استفاده می‌شوند از شکلی از تابع پتانسیل اغتشاشی درجه و مرتبه ۲ استفاده می‌شود که با روش هماهنگ‌های کروی^{۴۱} در [0] آمده‌است (۱۰.۵). استفاده از تابع پتانسیل بدست آمده در فصل ۲ نیز به همین نتایج منجر می‌شود که توسط نویسنده بررسی شده‌است.

$$R_{20+22} = \frac{\mu}{r^3} \left(C_{20} \left(1 - \frac{3}{2} \cos^2 \delta \right) + 3C_{22} \cos^2 \delta (\cos^2 \lambda - \sin^2 \lambda) \right) \quad (10.5)$$

که در آن δ و λ به ترتیب برابر با عرض و طول جغرافیایی هستند. δ و λ را می‌توان با معادلات بر حسب المان‌های کلاسیک مداری نوشت [0]:

$$\sin \delta = \sin i \sin u \quad (11.5)$$

$$\tan \lambda = \frac{\sin \Omega_R \cos u + \cos \Omega_R \sin u \cos i}{\cos \Omega_R \cos u - \sin \Omega_R \sin u \cos i} \quad (12.5)$$

⁴¹ Spherica harmonics

که در آن $u = \omega + \theta$ و Ω_R طول جغرافیایی گره صعودی است و چون در اینجا به دلیل رویکرد ما جسم مرکزی چرخشی ندارد، برابر با همان Ω است. ما برای نشان دادن تابع پتانسیل گرانشی از نمادهای [4] استفاده می کنیم و ضرایب بسط هارمونیک را برحسب ممان های لختی جسم مرکزی محاسبه می کنیم:

$$C_{20} = \frac{-1}{2} (2I_{zz} - I_{xx} - I_{yy}) \quad (13.5)$$

$$C_{22} = \frac{1}{4} (I_{yy} - I_{xx}) \quad (14.5)$$

که در آنها I_{zz} و I_{yy} ، I_{xx} مقادیر روی قطر ماتریس لختی جسم مرکزی هستند^{۴۲}. دو متغیر کمکی به صورت زیر تعریف می شوند:

$$\sigma = \frac{I_{yy} - I_{xx}}{I_{zz} - I_{xx}} \quad (15.5)$$

$$B = \frac{3n}{2p^2} (I_{zz} - I_{xx}) \quad (16.5)$$

که در آنها $p = a(1 - e^2)$ است. با جایگزاری معادلات (۱۱.۵) تا (۱۶.۵) در (۱۰.۵) به شکل زیر برای تابع پتانسیل گرانشی اغتشاشی می رسیم:

$$R = \frac{1}{6r^3} a^3 B n p^2 (2(-2 + \sigma) + 3 \cos u^2 (2 - \sigma + \sigma \cos 2\Omega)) \quad (17.5)$$

$$-3 \cos i^2 (-2 + \sigma + \sigma \cos 2\Omega) \sin u^2 - 3\sigma \cos i \sin 2u \sin 2\Omega)$$

برای بدست آوردن شتاب های اغتشاشی با توجه به [0] از روابط زیر استفاده کرده و عبارات شتاب هاب اغتشاشی به صورت زیر محاسبه می شوند:

$$a_r = \partial_r R \quad (18.5)$$

$$= \frac{a^3 B n p^2}{8r^4} (-(1 + 3\cos 2u)(2 - \sigma + 3\sigma \cos 2\Omega) + 6\cos 2i(-2 + \sigma + \sigma \cos 2\Omega) \sin^2 u + 12\sigma \cos i \sin 2u \sin 2\Omega)$$

$$a_s = \frac{1}{r} \partial_u R \quad (19.5)$$

$$- \frac{a^3 B n p^2}{r^4} (\sin 2u + \cos u \sin u (\cos^2 i (-2 + \sigma + \sigma \cos 2\Omega) - 2\sigma \sin^2 \Omega) + \sigma \cos i \cos 2u \sin 2\Omega)$$

^{۴۲} در واقع ماتریس لختی جسم به دلیل اینکه محورهای مختصات، منطبق بر محورهای اصلی جسم مرکزی انتخاب شده اند، ماتریسی قطری است.

$$a_w = \frac{1}{r \sin u} \partial_i R \quad (20.5)$$

$$= \frac{a^3 B n p^2}{r^4} \sin i \sin u (\cos i (-2 + \sigma + \sigma \cos 2\Omega) + \sigma \cot u \sin 2\Omega)$$

B شتاب اغتشاشی کوریولیس

دومین جمله‌ی معادلات (۸.۵) که با B نشان داده شده است، جمله‌ی ناشی از شتاب کوریولیس است که به دلیل نوشتن معادلات در دستگاه نالخت تولید شده است. همانطور که در قسمت ۲.۲.۵ گفته شد، برای نوشتن این شتاب اغتشاشی به گونه‌ای که برای استفاده در معادلات سیاره‌ای گاوس مناسب باشد، ابتدا بایستی $2\omega_T \dot{y}$ و $-2\omega_T \dot{x}$ که شتاب در راستاهای x و y هستند $(a_x$ و $a_y)$ را، برحسب المان‌های مداری کلاسیک نوشته و سپس طی دورانی a_x و a_y را به شتاب در دستگاه rsw تبدیل کنیم $(a_r, a_w$ و $a_s)$.

از دو ماتریس دوران زیر که به ترتیب دوران از دستگاه pqw^{43} به xyz و دوران از دستگاه xyz به rsw هستند در این قسمت و قسمت بعدی استفاده می‌شود.

$$R_{pqw2xyz} = \quad (21.5)$$

$$\begin{pmatrix} \cos \Omega & -\sin \Omega & 0 \\ \sin \Omega & \cos \Omega & 0 \\ 0 & 0 & 1 \end{pmatrix} \begin{pmatrix} 1 & 0 & 0 \\ 0 & \cos i & -\sin i \\ 0 & \sin i & \cos i \end{pmatrix} \begin{pmatrix} \cos \omega & -\sin \omega & 0 \\ \sin \omega & \cos \omega & 0 \\ 0 & 0 & 1 \end{pmatrix}$$

$$R_{xyz2rsw} = \quad (22.5)$$

$$\begin{pmatrix} \cos u & \sin u & 0 \\ -\sin u & \cos u & 0 \\ 0 & 0 & 1 \end{pmatrix} \begin{pmatrix} 1 & 0 & 0 \\ 0 & \cos i & \sin i \\ 0 & -\sin i & \cos i \end{pmatrix} \begin{pmatrix} \cos \Omega & \sin \Omega & 0 \\ -\sin \Omega & \cos \Omega & 0 \\ 0 & 0 & 1 \end{pmatrix}$$

برای شروع از بردار سرعت مدار در دستگاه pqw که در [1] آمده شروع می‌کنیم.

$$V_{pqw} = \frac{\mu}{h} \begin{pmatrix} -\sin \theta \\ e + \cos \theta \\ 0 \end{pmatrix} \quad (23.5)$$

برای محاسبه‌ی \dot{y} و \dot{x} ، $R_{pqw2xyz}$ را باید در V_{pqw} اثر بدهیم:

⁴³ Perifocal frame

$$\begin{pmatrix} \dot{x} \\ \dot{y} \\ \dot{z} \end{pmatrix} = R_{pqw2xyz} \cdot V_{pqw} \quad (24.5)$$

سپس بایستی $R_{xyz2rsw}$ را در a_x و a_y اثر بدهیم:

$$\begin{pmatrix} a_r \\ a_s \\ a_w \end{pmatrix} = R_{xyz2rsw} \begin{pmatrix} 2\omega_T \dot{y} \\ -2\omega_T \dot{x} \\ 0 \end{pmatrix} \quad (25.5)$$

حاصل محاسبات بالا به شکل زیر است:

$$\begin{pmatrix} a_r \\ a_s \\ a_w \end{pmatrix} = \begin{pmatrix} \frac{2 a n \omega_T \cos i (1+e \cos \theta)}{\sqrt{1-e^2}} \\ -\frac{2 a e n \omega_T \cos i \sin \theta}{\sqrt{1-e^2}} \\ -\frac{2 a n \omega_T \sin i (e \sin \omega + \sin u)}{\sqrt{1-e^2}} \end{pmatrix} \quad (26.5)$$

B شتاب اغتشاشی مرکز گرا

سومین جمله‌ی معادلات (۸.۵) که با C نشان داده شده است، جمله‌ی ناشی از شتاب مرکز گرا است که به دلیل نوشتن معادلات در دستگاه نالخت تولید شده است. روند محاسبات همانند قسمت قبل است با این تفاوت که در این جا $a_x = \omega_T^2 x$ و $a_y = \omega_T^2 y$ است و بایستی از بردار مکان در دستگاه pqw استفاده کنیم:

$$\begin{pmatrix} x \\ y \\ z \end{pmatrix} = R_{rsw2xyz}^{-1} \begin{pmatrix} r \\ 0 \\ 0 \end{pmatrix} \quad (27.5)$$

سپس بایستی $R_{xyz2rsw}$ را در a_x و a_y اثر بدهیم:

$$\begin{pmatrix} a_r \\ a_s \\ a_w \end{pmatrix} = R_{xyz2rsw} \begin{pmatrix} \omega_T^2 x \\ \omega_T^2 y \\ 0 \end{pmatrix} \quad (28.5)$$

حاصل محاسبات بالا به شکل زیر است:

$$\begin{pmatrix} a_r \\ a_s \\ a_w \end{pmatrix} = \begin{pmatrix} r\omega_T^2 (\cos u^2 + \cos^2 i \sin^2 u) \\ -\frac{1}{2} r\omega_T^2 \sin^2 i \sin 2u \\ -\frac{1}{2} r\omega_T^2 \sin 2i \sin u \end{pmatrix} \quad (29.5)$$

۶ طراحی مدار با معادلات سکولار

بعد از جایگزاری شتاب‌های اغتشاشی بدست آمده در قسمت‌های قبلی ((۱۸.۵)، (۱۹.۵)، (۲۰.۵)، (۲۶.۵) و (۲۹.۵)) در معادلات سیاره‌ای گاوس (۲.۵) تا (۷.۵)، از معادلات نرخ‌های لحظه‌ای المان‌های مداری، نسبت به زمان در یک تناوب مداری، با رابطه‌ی زیر میانگین‌گیری می‌شود:

$$\dot{S} = \frac{1}{2T} \int_0^{2\pi} S_{osculating} \frac{(1-e^2)^{\frac{3}{2}}}{n(1+e \cos \theta)^2} d\theta \quad (۱.۶)$$

که در آن T دوره تناوب مغشوش نشده‌ی جسم است و $S_{osculating}$ نمایشگر نرخ لحظه‌ای یک المان مداری و \dot{S} نرخ میانگین یا سکولار این نرخ‌لحظه‌ای است.

همانطور که قبلاً هم به آن اشاره شد، برای این میانگین‌گیری نیازی نیست که فرض کنیم که سرعت زاویه‌ای جسم مرکزی بسیار کمتر از سرعت زاویه‌ای مدار است، اگرچه همیشه هنگام میانگین‌گیری از المان‌های مداری نیاز است که فرض کنیم که همه‌ی المان‌های مداری به جز آنومالی حقیقی در طول یک تناوب مدار تغییر چندانی نمی‌کنند. این فرض معادل این شرط است که اغتشاشات مداری باید کوچک باشند. از آنجایی که شتاب‌های اغتشاشی ما با سرعت زاویه‌ای جسم مرکزی رابطه مستقیم دارند، شرط بالا به ما تحمیل می‌کند که سرعت زاویه‌ای جسم مرکزی کوچک باشد. پس از میانگین‌گیری معادلات به شکل زیر درمی‌آیند:

$$\dot{a} = 0 \quad (۲.۶)$$

$$\dot{e} = 0 \quad (۳.۶)$$

$$\dot{i} = \frac{B}{2} \sigma \sin i \sin 2\Omega \quad (۴.۶)$$

$$\dot{\omega} = \frac{1}{8} B (6 - 3\sigma + \sigma \cos 2\Omega - 5 \cos 2i (-2 + \sigma + \sigma \cos 2\Omega)) \quad (۵.۶)$$

$$\dot{\Omega} = \frac{1}{2} B \cos i (-2 + \sigma + \sigma \cos 2\Omega) - \omega_T \quad (۶.۶)$$

$$\dot{\theta} = n + \frac{1}{8} B (-2 + \sigma + 3(-2 + \sigma) \cos 2i - 6 \sigma \cos 2\Omega \sin^2 i) - \omega_T \cos i \quad (۷.۶)$$

با مشاهده‌ی روابط بالا متوجه میشویم که جمله‌های ناشی از شتاب‌های اغتشاشی (جمله‌های شامل ω_T) تنها به صورت $-\omega_T$ در رابطه‌ی نرخ زاویه‌ی گره صعودی و $\omega_T \cos i$ در رابطه‌ی نرخ آنومالی حقیقی مشاهده می‌شود که خیلی متقاعد کننده و مطلوب به نظر میرسد زیرا:

- بدیهی است که در صورت عدم وجود اغتشاشات ناشی از جسم مرکزی، شتاب‌های اغتشاشی ناشی از نوشته شدن معادلات حرکت در دستگاه چسبیده به سیارک، تنها میتوانند تغییرات تناوبی در المان‌های مداری به وجود آورند، مگر در آنومالی حقیقی و زاویه‌ی گره صعودی. زیرا مدار لخت حل مسأله‌ی دو جسم است و تمام المان‌های مداری آن به جز آنومالی حقیقی ثابت است؛ هنگامی یک دور از مدار پیموده می‌شود و به محل قبلیش باز می‌گردد، تنها چیزی که عوض شده، زاویه‌ی چرخش سیارک است که هیچ کدام از المان‌های مداری، مدار چسبیده به جسم نیز به دلیل کروی بودن جسم، این تغییر را احساس نمیکنند مگر آنومالی حقیقی و زاویه‌ی گره صعودی. بنابراین نرخ المان‌های مداری جز این دو، نباید دارای جمله‌ای سکولار باشد.

- باز با در نظر گرفتن یک جسم کروی؛ هنگامی که فضاپیما از خط استوای سیارک برای بار دوم رد می‌شود، زاویه‌ی گره شمالی به اندازه‌ی $\omega_T T$ چرخیده است، بنابراین نرخ آن برابر با ω_T خواهد بود که با رابطه‌ی (۶.۶) همخوانی دارد.

- برای تصور اثر جمله‌ی $\omega_T \cos i$ بر روی آنومالی حقیقی بیایید فرض کنیم که جسم مرکزی کروی، مدار استوایی و سرعت زاویه‌ای متوسط مداری برابر با $2\omega_T$ است. بنابراین وقتی که مدار لخت دو تناوب را کامل می‌کند، مدار چسبیده یک تناوب را کامل می‌کند و بنابراین میانگین نرخ سکولار آنومالی حقیقی آن (سرعت زاویه‌ای متوسط مداری) بایستی نصف مدار لخت باشد که این نتیجه توسط رابطه‌ی (۷.۶) هم پیشبینی می‌شود. حال تمام فرضیات قبل را در نظر بگیرید با این تفاوت که مدار قطبی باشد؛ واضح است که سرعت متوسط مداری مدار لخت و مدار چسبیده نباید فرقی داشته باشند که این نتیجه هم با رابطه‌ی (۷.۶) تطابق دارد.

۱.۶ حل تقریبی مدار

یک مدار چسبیده به جسم مرکزی که تقریباً یخ زده است را حول یک جسم مرکزی با چرخش کند در نظر گرفته‌ایم. شرایط اولیه این مدار و ثوابت مربوط به جسم مرکزی در جدول [3] آمده است. این مدار به سه طریق شبیه سازی شده. فایل‌های شبیه سازی در پیوست ۴ آمده است.

۱. روش کاول^{۴۴} که دقیق است.
۲. روشی مبتنی بر [4] که فروض آن در ۱.۲.۵ توضیح داده شد. با این روش معادلات سکولار حرکت در دستگاه لخت حل می‌شوند که ما این روش را روش سیارک‌های کندچرخ می‌نامیم
۳. معادلات سکولار (۲.۶) تا (۷.۶) که در این روش حل در دستگاه چسبیده به جسم صورت می‌گیرد.

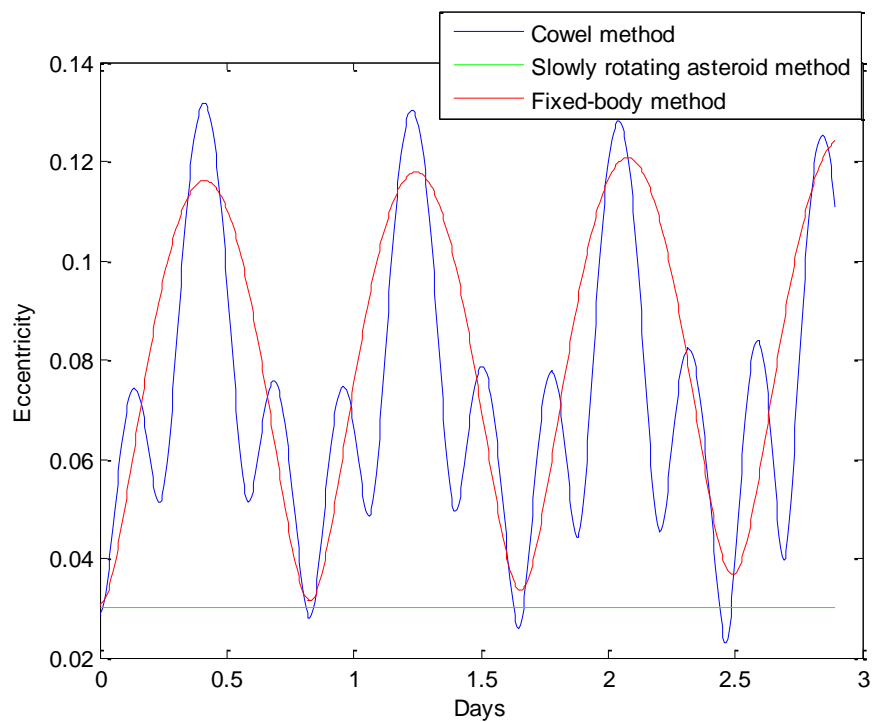
سپس بردارهای مکان و سرعت روش ۳ هم به دستگاه لخت انتقال داده شده و المان‌های مداری پیش‌بینی شده توسط هر کدام از این ۳ روش در (رسم توضیحی ۷ و ۸ و ۹) کشیده شده‌است. به خوبی مشاهده می‌شود که هر دو روش ۳ و ۲ رفتار سکولار روش دقیق ۱ را به خوبی دنبال می‌کنند ولی روش ۳ رفتار تناوب کوتاه روش ۱ را هم دنبال می‌کند که بسیار جالب بوده و به این دلیل است که مدار چسبیده تقریباً مشابه حلی از مسأله‌ی دوجسم است و هنگامی که برای شبیه‌سازی مدار چسبیده از روابط سکولار استفاده شده، اطلاعاتی از مدار هدر نرفته است، در صورتی که روش ۲ مدار را در دستگاه لخت با روابط سکولار شبیه‌سازی می‌کند، که به دلیل وجود نوسانات تناوب کوتاه در المان‌های مدار لخت، این روش، ناچار به حذف این نوسانات خواهد بود.

روش ۳ هم خود مشکلاتی دارد و از مهمترین آن این است که در واقع این روش تنها برای اینچنین مدارهایی که در دستگاه چسبیده تقریباً ثابتند تقریب خوبی ارائه می‌دهد و نیز در صورتی که سرعت جسم مرکزی زیاد باشد، چون این روش این سرعت را به مدار نسبت می‌دهد، امکان دارد که خروج از مرکز مدار بیش از ۱ شده و در اینصورت معادلات سیاره‌ای گاوس تکین می‌شوند و روابط سکولار استخراج شده اشتباه خواهند بود.

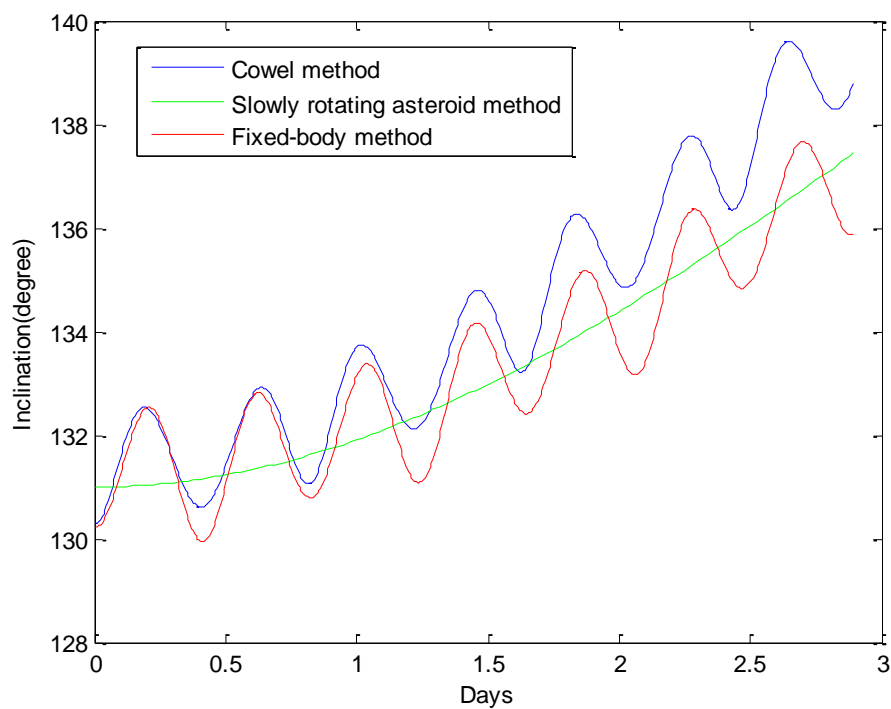
⁴⁴ Cowel

Orbit1 initial conditions and body properties

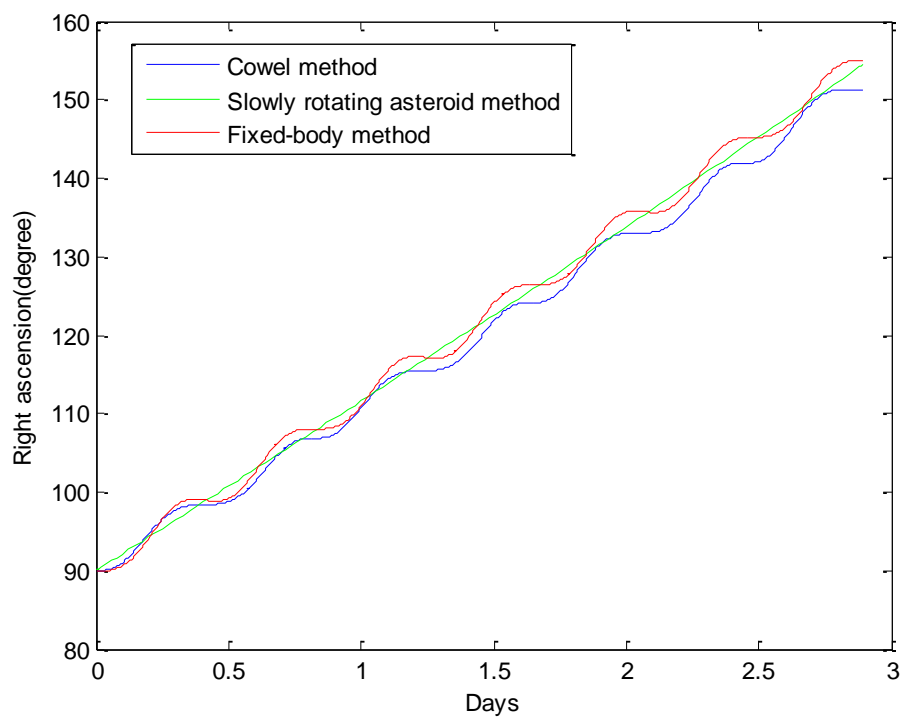
Parameters	Value	Parameters	Value
m_{body}	$5 \times 10^{12} kg$	a	$3434 m$
ω_T	$5 \times 10^{-6} \frac{rad}{s}$	e	0.04
C_{20}	$-2 \times 10^5 m^2$	i	$132.5 d$
C_{22}	$2 \times 10^5 m^2$	Ω	$90 deg$
		ω	0



شکل ۱۸: خروج از مرکز مدار لخت



شکل ۱۹: زاویه‌ی شیب مدار لخت



شکل ۲۰: زاویه‌ی گرهِ صعودی مدار لخت

۲.۶ طراحی مدار منجمد چسبیده به جسم

در اینجا هدف پیدا کردن مدارهای منجمد در دستگاه چسبیده به جسم، و بررسی شرایط امکان اینچنین مدارهایی با استفاده از معادلات سکولار حرکت که در فصل قبل به دست آمد است. طراحی مدارهای نیمه منجمد (همه چیز به جز زاویه ی حضيض ثابت است) پیرامون جسم با میدان گرانشی درجه و مرتبه ۲ در [4] با استفاده از روش سیارک های کند چرخ انجام شده است ولی این طراحی برای مدارهایی که خروج از مرکز دارند به شدت ناپایدار است و در این گونه موارد بایستی زاویه ی حضيض را هم ثابت کرد که در اینجا به آن پرداخته می شود.

بایستی معادلات (۴.۶)، (۵.۶) و (۶.۶) را برابر با صفر قرار دهیم. دو متغیر کمکی زیر را تعریف می کنیم:

$$X = \frac{I_{xx}}{I_{zz}}, \quad Y = \frac{I_{yy}}{I_{zz}} \quad (۸.۶)$$

تثبیت زاویه ی شیب

با قرار دادن رابطه ی (۴.۶) برابر با صفر یا بایستی $i = 0$ که مربوط به مدارهای استوایی است که مورد بحث ما نیست و یا اینکه $\Omega = 0, \pi$ یا $\Omega = \frac{\pi}{2}, \frac{3\pi}{2}$. همچنین از آنجایی که فرضی در مورد محورهای x و y جسم مرکزی صورت نگرفته است بررسی $\Omega = 0, \pi$ بدون کاسته شدن از کلیت مسأله معادل با $\Omega = \frac{\pi}{2}, \frac{3\pi}{2}$ نیز است. بنابراین:

$$\Omega = 0 \quad \text{یا} \quad \pi \quad (۹.۶)$$

تثبیت زاویه ی حضيض و زاویه ی گره صعودی

با قرار دادن رابطه ی (۵.۶) و (۶.۶) برابر با صفر و جایگزاری شرط (۹.۶) زاویه ی شیب و نیم محور اصلی با روابط زیر مقید می شوند:

$$i = \cos^{-1} \left(\pm \sqrt{\frac{\sigma+1}{5}} \right) \quad (۱۰.۶)$$

$$a = \left(-\frac{3(X-1)^2 \sqrt{\mu} I_{zz}}{(1-e^2)^2 (X-Y) \omega_T} \right)^{\frac{2}{7}} \quad (۱۱.۶)$$

رابطه ی (۱۰.۶) نشان می دهد برای وجود مدار منجمدی چسبیده به جسم، بایستی جسم مرکزی خاصیت زیر را داشته باشد:

$$-1 < \sigma < 4 \quad (۱۲.۶)$$

از آنجایی که در تعویض محور x و y آزادی عمل داریم، شرط بالا معادل برقراری تنها یکی از دو شرط پایین است:

$$Y < \frac{5}{2}|X - 1| - \frac{1}{2}X + \frac{3}{2} \quad \text{یا} \quad X < \frac{5}{2}|Y - 1| - \frac{1}{2}Y + \frac{3}{2} \quad (۱۳.۶)$$

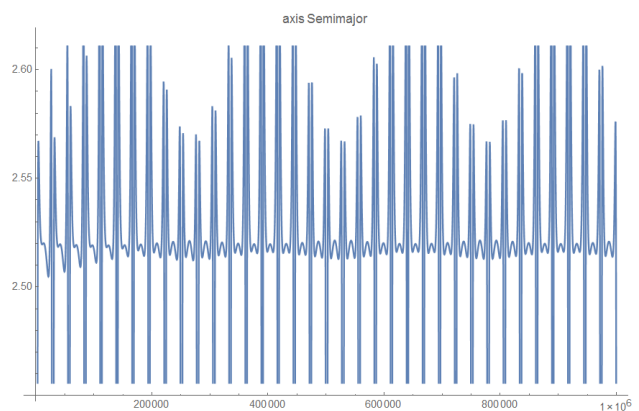
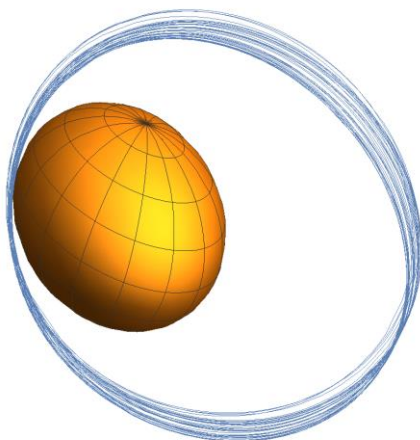
اگر که برای جسمی یکی از این شرایط برقرار باشد این جسم دو مدار چسبیده منجمد و اگر هر دو شرط برقرار باشد چهار مدار چسبیده منجمد خواهد داشت.

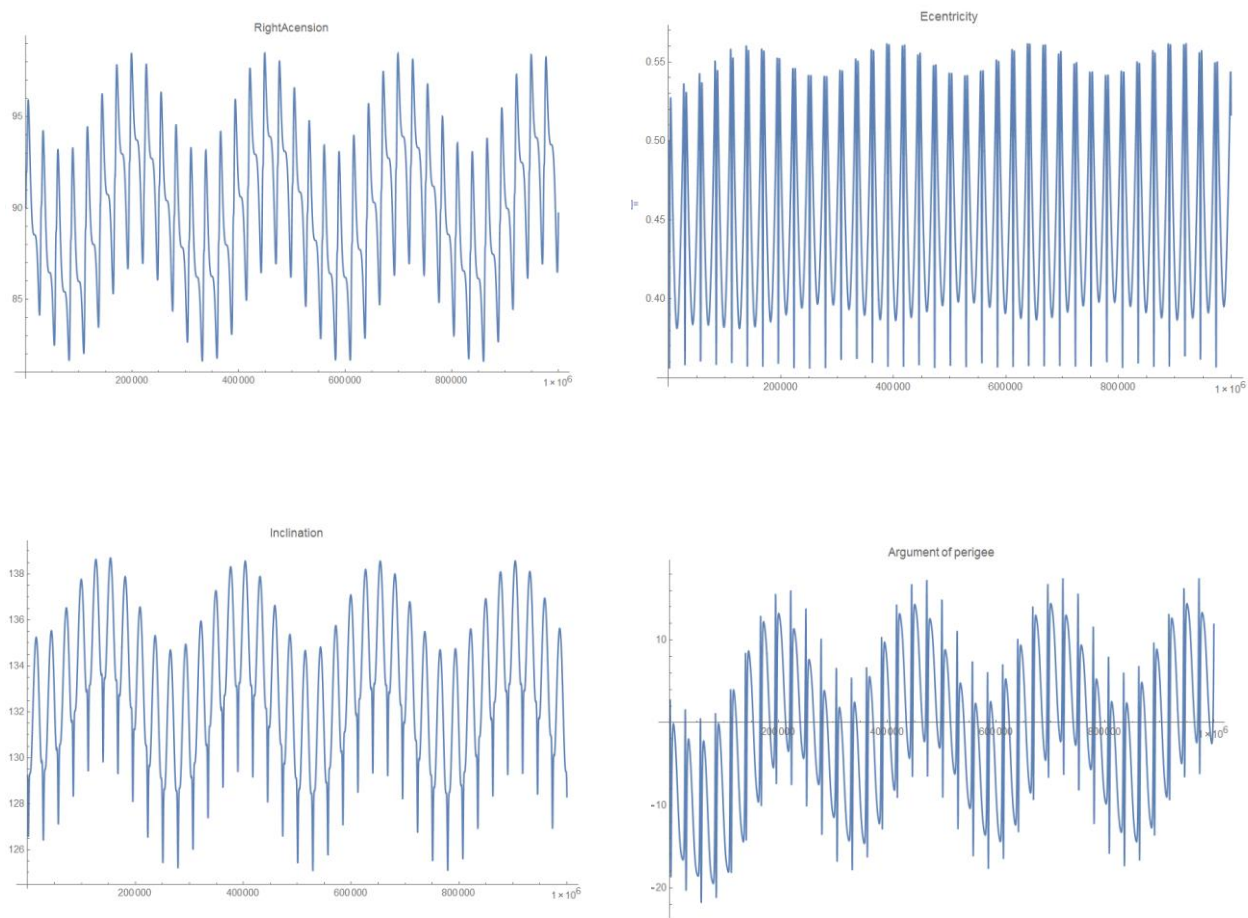
بسیاری اوقات سیارک قادر به ارضای شرط (۱۳.۶) خواهد بود ولی نیم محور اصلی تعیین شده با رابطه‌ی (۱۱.۶) باعث برخورد مدار بدست آمده با سطح سیارک می شود. به همین دلیل برای بررسی این شرط به طور تقریبی، سیارک را بیضی گونی با محورهای R در جهت z و محورهای αR و βR در جهات x و y در نظر می گیریم به گونه ای که α و β میتوانند هر مقداری به خود بگیرند و بنابراین چیزی از کلیت مسأله کاسته نمی شود. شرط اینکه نیم محور اصلی مدار از محور z بیضی گون بزرگتر باشد با توجه به رابطه‌ی (۱۱.۶) به صورت زیر بدست می آید:

$$\frac{a}{R} = \left(\sqrt{\frac{3\pi G \alpha \beta \rho}{125}} (1 + \sigma) \frac{(1 - \alpha^2)^{\frac{2}{7}}}{\omega_T} \right) (1 - e^2)^{\frac{-4}{7}} > 1 \quad (۱۴.۶)$$

بدیهی است که این شرط لازم و نه کافی است.

در آخر، مسیر و المان های کلاسیک مداری یک مدار چسبیده منجمد با خروج از مرکز بالا (حدود ۰,۵) که با روش بالا طراحی شده در ادامه آمده است.





شکل ۲۱: بالا چپ: مسیر مدار در دستگاه چسبیده. بالا راست: نیم محور اصلی مدار. وسط چپ: زاویه‌ی گره صعودی. وسط راست: خروج از مرکز مدار. پایین چپ زاویه‌ی شیب مدار. پایین راست: زاویه‌ی حضیض مدار

۷ جمع‌بندی و نتیجه‌گیری

از دستاوردهای این پروژه میتوان به الگوریتم‌های برای محاسبه‌ی ضرایب بسط هارمونیک به کمک مدل چندوجهی جسم، الگوریتم حل مدار به کمک روش چندوجهی‌ها، بدست آوردن روشی جدید برای میانگین‌گیری معادلات نرخ‌های لحظه‌ای المان‌های مداری در یک محیط گرانشی مرتبه و درجه ۲ با سرعت زاویه‌ای یکنواخت، و طراحی مدارهای منجمد جدید با روش جدید نام برد.

نکته‌ی قابل ذکرى که وجود دارد و میتواند زمینه‌ی تحقیقات بعدی در این باره شود، تحقیق در مورد المان‌های مداری میباشد که نه تنها تابع بردار سرعت و بردار مکان میباشد بلکه به نوعی به زمان هم وابسته‌اند. این المان‌ها میتوانند در بسیاری از موارد سبب سادگی معادلات نرخ‌های المان‌های مداری شوند همانطوری که در مسأله‌ای که در فصل ۵ به آن برخوردیم و مدار را در دستگاه چسبیده مشاهده کردیم، در واقع نوعی جدید از المان‌های مداری تعریف کرده که وابستگی آنها به زمان به گونه‌ای است که زاویه‌ی چرخش سیارک از معادلات نرخ المان‌های مداری حذف میشود. بنابراین جا دارد که تئوری کلی‌تری در باب المان‌های مداری وابسته به زمان ارائه شود.

پایان

علی سیاه‌کمری

تیر ۱۳۹۴

منابع و مراجع

- Vallado, David A., and Wayne D. McClain. *Fundamentals of astrodynamics and applications*. Vol. 12. Springer Science & Business Media, 2001. [٠]
- Curtis, Howard. *Orbital mechanics for engineering students*. Butterworth-Heinemann, 2013. [١]
- Scheeres, Daniel Jay. "Dynamics about uniformly rotating triaxial ellipsoids: applications to asteroids." *Icarus* 110.2 (1994): 225-238. [٢]
- Scheeres, D. J. "Satellite dynamics about asteroids." *Advances in the Astronautical Sciences*. 292 (1994). [٣]
- Hu, Weiduo. *Orbital motion in uniformly rotating second degree and order gravity fields*. 2002. [٤]
- Takahashi, Yu. "Gravity Field Characterization around Small Bodies." (2013). [٥]
- Scheeres, D. J. "Orbit mechanics about small asteroids." *20th International Symposium on Space Flight Dynamics*. 2007. [٦]
- Scheeres, D. J. "Orbital mechanics about small bodies." *Acta Astronautica* 72 (2012): 1-14. [٧]
- Hu, Weiduo, and Daniel J. Scheeres. "Spacecraft motion about slowly rotating asteroids." *Journal of guidance, control, and dynamics* 25.4 (2002): 765-775. [٨]
- Scheeres, Daniel J., and W. Hu. "Secular motion in a 2nd degree and order-gravity field with no rotation." *Celestial Mechanics and Dynamical Astronomy* 79.3 (2001): 183-200. [٩]
- Rossi, A., F. Marzari, and P. Farinella. "Orbital evolution around irregular bodies." *Earth, planets and space* 51.11 (1999): 1173-1180. [١٠]
- Mission design through averaging of perturbed Keplerian systems the paradigm of an Enceladus orbiter [١١]
- Scheeres, D. J. "Satellite Dynamics about small bodies: Averaged Solar Radiation Pressure Effects1." *Ann Arbor* 1001 (1999): 48109-2140. [١٢]
- Morrow, Esther, D. J. Scheeres, and Dan Lubin. "Solar sail orbit operations at asteroids." *Journal of Spacecraft and Rockets* 38.2 (2001): 279-286. [١٣]
- Lantukh, Demyan, Ryan P. Russell, and Stephen Broschart. "Heliotropic orbits at oblate asteroids: balancing solar radiation pressure and J2 perturbations." *Celestial Mechanics and Dynamical Astronomy* 121.2 (2015): 171-190. [١٤]
- Scheeres, Daniel J., et al. "Orbits close to asteroid 4769 Castalia." *Icarus* 121.1 (1996): 67-87. [١٥]
- Hu, W., and Daniel Jay Scheeres. "Numerical determination of stability regions for orbital motion in uniformly rotating second degree and order gravity fields." *Planetary and Space Science* 52.8 (2004): 685-692. [١٦]
- Scheeres, D. J., et al. "The actual dynamical environment about Itokawa." *AIAA paper* 6661 (2006). [١٧]

- Scheeres, D. J., J. K. Miller, and D. K. Yeomans. "The orbital dynamics environment of 433 Eros: A case study for future asteroid missions." *InterPlanetary Network Progress Report* 42.152 (2003): 1-26. [18]
- Scheeres, D. J., B. G. Williams, and J. K. Miller. "Evaluation of the dynamic environment of an asteroid: Applications to 433 Eros." *Journal of Guidance, Control, and Dynamics* 23.3 (2000): 466-475. [19]
- Scheeres, D. J., et al. "The dynamical environment about Asteroid 25143 Itokawa: target of the Hayabusa Mission." *AIAA/AAS Astrodynamics Specialist Conference and Exhibit*. 2004. [20]
- Pravec, Petr, and Alan W. Harris. "Fast and slow rotation of asteroids." *Icarus* 148.1 (2000): 12-20. [21]
- Werner, Robert A. "Spherical harmonic coefficients for the potential of a constant-density polyhedron." *Computers & Geosciences* 23.10 (1997): 1071-1077. [22]
- Lien, Sheue-ling, and James T. Kajiya. "A symbolic method for calculating the integral properties of arbitrary nonconvex polyhedra." *Computer Graphics and Applications, IEEE* 4.10 (1984): 35-42. [23]
- <http://sbn.psi.edu/pds/resource/nearbrowse.html> [24]
- Werner, Robert A., and Daniel J. Scheeres. "Exterior gravitation of a polyhedron derived and compared with harmonic and mascon gravitation representations of asteroid 4769 Castalia." *Celestial Mechanics and Dynamical Astronomy* 65.3 (1996): 313-344. [25]
- Scheeres, Daniel J. "Orbital Motion in Strongly Perturbed Environments." *Orbital Motion in Strongly Perturbed Environments, by Scheeres, Daniel J. ISBN: 978-3-642-03255-4. Berlin: Springer, 2012* 1 (2012). [26]
- Boyce, William E., Richard C. DiPrima, and Charles W. Haines. *Elementary differential equations and boundary value problems*. Vol. 9. New York: Wiley, 1992. [27]